



LATVIJAS  
UNIVERSITĀTE

Promocijas darba  
kopsavilkums

Kaspars Kaprāns

PĀREJAS METĀLU OKSĪDU  
ELEKTRODU MATERIĀLU  
PĒTĪJUMI PIELIETOJUMIEM  
LITIJA JONU BATERIJĀS



# LATVIJAS UNIVERSITĀTE

FIZIKAS, MATEMĀTIKAS UN OPTOMETRIJAS FAKULTĀTE

**Kaspars Kaprāns**

## PĀREJAS METĀLU OKSĪDU ELEKTRODU MATERIĀLU PĒTĪJUMI PIELIETOJUMIEM LITIJA JONU BATERIJĀS

PROMOCIJAS DARBA KOPSAVILKUMS

Zinātnes doktora grāda (Ph. D.) iegūšanai  
dabaszinātnēs fizikas un astronomijas nozarē

Apakšnozare: materiālu fizika

Rīga 2024

Promocijas darbs izstrādāts Latvijas Universitātes Cietvielu fizikas institūtā laika posmā no 2015. gada līdz 2023. gadam

Darbs sastāv no ievada, 4 nodaļām, nobeiguma, literatūras saraksta.

Darba forma: disertācija fizikas un astronomijas zinātņu nozarē, materiālu fizikas apakšnozarē

Darba zinātniskais vadītājs: *Dr.chem. Gunārs Bajārs*, vadošais pētnieks Latvijas Universitātes Cietvielu fizikas institūtā

Darba recenzenti:

- 1) **Māris Knite**, *Dr. habil. phys.*, profesors, Rīgas Tehniskā universitāte;
- 2) **Andris Šutka**, *Dr. phys.*, profesors, Rīgas Tehniskā universitāte;
- 3) **Tomas Šalkus**, *Dr.*, profesors, Vilņas Universitāte, Lietuva.

Promocijas darba aizstāvēšana notiks latvijas Universitātes fizikas un astronomijas zinātņu nozares promocijas padomes atklātā sēdē 2024. gada 19. aprīlī, plkst. 15:00, Latvijas Universitātes Cietvielu fizikas institūta konferenču zālē, Kengaraga ielā 8, Rīgā.

Ar promocijas darbu un tā kopsavilkumu var iepazīties Latvijas Universitātes Bibliotēkā Rīgā, Raiņa bulvārī 19.

LU fizikas un astronomijas zinātņu nozares promocijas

padomes priekšsēdētājs / - a \_\_\_\_\_ / *Dr. habil. phys. Linards Skuja*  
*(paraksts)*

promocijas padomes sekretārs/- e \_\_\_\_\_ / *Sintija Siliņa* /  
*(paraksts)*

© Latvijas Universitāte, 2024  
© Kaspars Kaprāns, 2024

ISBN 978-9934-36-199-9

ISBN 978-9934-36-200-2 (PDF)

## ANOTĀCIJA

Darbā pētīti ar elektroforētiskās izgulsnēšanas metodi iegūti dzelzs oksīda, titāna dioksīda un reducēta grafēna oksīda (rGO) litija jonu bateriju elektroda materiāli un novērtēta pielietojamība litija jonu baterijās.

Izpētīti un salīdzināti iegūto elektrodu materiālu sastāvi, struktūra un morfoloģija, izmantojot skenējošo elektronu mikroskopiju, atomspēku mikroskopiju, rentgenstaru difrakcijas analīzi, Ramana spektroskopiju, rentgenstaru mikrospektrālo analīzi un rentgenstaru fotoelektronu spektroskopiju.

Trīskomponentu  $\text{Fe}_2\text{O}_3/\text{TiO}_2/\text{rGO}$  anodmateriāls uzrādīja labāku elektroķīmisko veikspēju, salīdzinot ar divkomponentu  $\text{Fe}_2\text{O}_3/\text{rGO}$  un  $\text{TiO}_2/\text{rGO}$  elektrodiem. Iegūtās lādinietilpības pie izlādes strāvas 0.5 mA ir 571, 683, 729 mAh/g attiecīgajiem nanokompozīta elektrodu materiāliem  $\text{Fe}_2\text{O}_3/\text{TiO}_2$  molārās attiecībās 1:1 (FT11), 2:1 (FT21) un 3:1 (FT31). Pēc 400 veikajiem uzlādes – izlādes cikliem ar strāvu 1 mA, nanokompozīts FT11 ciklēšanas noslēgumā saglabā 58 %, FT21 - 81 % un FT31 - 17 % no sākotnējās lādinietilpības. Pamatojoties uz ātrumspējas, ciklējamības un lādinietilpības mērījumu rezultātiem secināts, ka nanokompozīts ar  $\text{Fe}_2\text{O}_3$  un  $\text{TiO}_2$  molārajām attiecībām 2:1 ir perspektīvs augstas veikspējas elektroda materiāls litija jonu baterijām.

Darbā iegūtie rezultāti paplašina izpratni par divu pārejas metālu oksīdu mijiedarbību augstas veikspējas litija jonu bateriju elektroda materiālu iegūsanā, izmantojot lētu, vienkāršu un videi draudzīgu metodi. Iespēja pielāgot elektroda materiāla īpašības (ātrumspēju, lādinietilpību, ciklējamību), padara to daudzsološu tādos litija jonu bateriju pielietojumos kā portatīvie datori, elektriskie darbarīki, viedtāruņi, droni, elektromobili u.c.

**Atslēgvārdi:** elektroda materiāls, elektroforētiskā izgulsnēšana, pārejas metālu oksīdi, litija jonu baterija, uzlāde - izlāde.

## SATURS

ANOTĀCIJA .....	4
IEVADS .....	6
1.1. Tēmas aktualitāte un motivācija .....	6
1.2. Darba mērķis un uzdevumi .....	7
1.3 Autora ieguldījums .....	7
1.4 Zinātniskā novitāte .....	7
1.5 Promocijas darba struktūra .....	8
2. TEORIJA UN LITERATŪRAS APSKATS .....	9
2.1 Baterijas uzbūve un darbība .....	9
2.2 Anodmateriāli .....	9
2.3 Katodmateriāli .....	10
2.4 Elektrolīts .....	11
2.5 Izmantotie materiāli .....	11
2.6 Nanokristālisku kārtiņu izgatavošanas tehnika .....	12
3. EKSPERIMENTĀLĀS METODES .....	13
3.1 Pētāmo materiālu sagatavošana .....	13
3.2 Iegūto kārtiņu sastāva, struktūras un morfoloģijas pētījumi .....	13
3.3 Elektrokīmiskie mērījumi .....	14
4. REZULTĀTI UN DISKUSIJA .....	15
4.1. Ar elektroforētiskās izgulsnēšanas metodi iegūti dzelzs oksīda, titāna dioksīda .....	15
un reducētās grafēna oksīda elektrovadošas piedevas elektroda materiālu pētījumi .....	15
4.2 Dažāda kvantitatīvā sastāva dzelzs oksīda un titāna dioksīda elektrodu kompozītmateriālu pētījumi .....	19
SECINĀJUMI .....	27
AIZSTĀVAMĀS TĒZES .....	28
LITERATŪRA .....	29
AUTORA PUBLICITĀTE .....	34
KONFERENČU TĒŽU SARAKSTS .....	34
ZINĀTNISKIE PROJEKTI .....	35
PATEICĪBAS .....	36

## IEVADS

### 1.1. Tēmas aktualitāte un motivācija

Vārdu savienojumi „globālā sasilšana” un „alternatīvā enerģija” cilvēces apziņā tiek asociēti ar vēja generatoriem vai plašiem saules bateriju laukiem, bet mūsdienās aizvien aktuālāks kļūst jautājums, kā dabai draudzīgo enerģiju uzkrāt, ne tikai saražot. Strauji pieaugašais pārnēsājamo elektroierīču tirgus un aktualizējusies zaļā domāšana padara pētījumus šajā jomā ļoti aktuālus [1]. Litija jonu baterija (LJB) ir vairākkārt uzlādējama elektriskās energijas uzglabāšanas ierīce. Tā sastāv no diviem elektrodiem - katoda un anoda, elektrolīta, separatoria un integrētās drošības mikroshēmas, kas ļauj izvairīties no baterijas bojājumiem pārlādēšanas vai pārlieku straujas izlādes gadījumā [2]. Pārejas metālu oksīdi ir raksturīgi ar augstu teorētisko lādinietilpību, ko nodrošina konversijas tipa reakcija elektroda materiāla litizācijas procesā, tomēr, elektrodru elektrokīmiski ciklējot, notiek neatgriezeniskas materiāla kristālrežga struktūras izmaiņas, kas noved pie straujas un neatgriezeniskas lādinietilpības samazināšanās [3]. Tā kā LJB elektroda materiāla svarīga īpašība ir arī elektriskā vadītspēja, bet pārejas metālu oksīdi parasti ir slīkti elektronu vadītāji, kompozītmateriāla sintēzē tiek iekļauts arī elektronus vadošs materiāls (oglie vai tās allotropā forma). Apvienojot materiālus ar ievērojamu gravimetrisko lādinietilpību, augstu mehānisko stipribu un labu elektrovadītspēju, iespējams iegūt jaunus LJB elektrodu materiālus, kas var būtiski uzlabot baterijas elektrokīmisko veikstspēju [8-9].

Elektroforētiskā izgulsnēšana (EPD) ir ārējā elektriskā lauka izraisīta lādētu daļņu kustība koloidālā šķidumā un izgulsnēšanās uz elektrisko strāvu vadošas pamatnes, veidojot plānu materiāla kārtiņu. Saīdzinot ar citām kārtiņu iegūšanas metodēm, tā ir lēta, vienkārša un netiek izmantotas toksiskas kīmiskas vielas. Attiecībā uz materiāla kārtiņu iegūšanas procesu ir vērts pieminēt, ka metode ļauj viegli kontrolet kārtiņas morfoloģiju un biezumu, mainot elektroforētiskās izgulsnēšanas laiku un elektriskā lauka lielumu [7].

Promocijas darbā tika pētītas elektroforētiski izgulsnētas kompozītmateriāla kārtiņas, kas sastāv no diviem pārejas metālu oksīdiem ( $\text{Fe}_2\text{O}_3$ ,  $\text{TiO}_2$ ) un reducēta grafēna oksīda (rGO) kā elektrovadošas piedevas. Dzelzs oksīds ir raksturīgs ar augstu teorētisko lādinietilpību ( $1006 \text{ mAh}^{-1}$ ), bet vāju elektrokīmiskās ciklēšanas noturību. Tā kā  $\text{TiO}_2$  kristālrežga tilpuma izmaiņas elektroda materiāla litizācijas laikā ir  $\approx 4\%$  un tam raksturīga augsta elektrokīmiskā ciklēšanas noturība,  $\text{TiO}_2$  tika izmantots pētāmā kompozītmateriāla elektroda elektrokīmiskā ciklēšanas stabilitātes nodrošināšanai [3]. Šobrīd LJB elektrodru materiālu sintēzei tiek izmantotas tādas plāsi izplatītās metodes kā termiskā sakausēšana [4], hidrotermālā sintēze [5], kīmiskā sintēze [6], atomāro slānu izgulsnēšana [7] un kīmisko tvaiku izgulsnēšana [8]. Neskatoties uz šo metožu plašo izplatību, tām ir daži nopietni trūkumi:

1. To izmantošana prasa lielus ekonomiskos resursus;
2. Karsēšana augstās temperatūrās ( $T > 1000 \text{ K}$ ) var bojāt elektroda materiāla struktūru, paaugstinot tā trauslumu, kas rezultātā izraisa aktīvā materiāla un strāvu vadošas pamatnes elektriskā kontakta zudumu;
3. Elektroda materiāla sintēzes veikšanai nepieciešamas dārgas, lielas un sarežģītas iekārtas;
4. Elektroda materiāla sintēzes process ir laikietilpīgs;
5. Nevar izmantot aktīvā elektroda materiāla pamatnes materiālus, kas nav noturīgi pret augstām temperatūrām un spiedieniem;
6. Ierobežota strāvu vadošas pamatnes ģeometriskās formas izvēle, kas ir saistīta ar izmantojamās iekārtas parametriem;
7. Izmantotās vielas ir viegli gaistošas un toksiskas.

Darbā izmantotā elektroda materiāla sintēzes metode ir elektroforētiskā izgulsnēšana, kuras galvenās priekšrocības ir:

1. Samazināts (5-10 min) elektroda materiāla sintēzes laiks;
2. Elektroforētiskās izgulsnēšanas veikšanai ir nepieciešams tikai līdzstrāvas barošanas bloks un divi elektrodi, kas ievietoti suspensijā;
3. Nav ierobežoti pamatnes ģeometriskie izmēri;
4. Nav nepieciešamas saistvielas;

5. Netiek izmantotas toksiskas vielas un neveidojas bīstami atkritumi;
  6. EPD metode ir ekonomiski izdevīga un vienkārši pielietojama;
  7. Iespēja kontrolēt iegūstamās materiāla kārtīnas biezumu un morfoloģiju, mainot tādus EPD procesa parametrus kā ārējā elektriskā laukuma lielums un izgulsnēšanas laiks.
- Elektroforētiskās izgulsnēšanas metodēs izmantošana elektrodu materiālu sintēzē būtiski samazina LJB ražošanas izmaksas, padara ražošanas procesu "zaļāku". Pielietojot EPD metodi, tiek paātrināts elektroda materiālu ražošanas process un nerodas bīstamie atkritumi, kas ir svarīgs apkārtējo vidi ietekmējošs faktors. Elektroforētiski iegūtais  $\text{Fe}_2\text{O}_3/\text{TiO}_2/\text{rGO}$  elektroda kompozītmateriāls apvieno divas litija jona baterijai svarīgas īpašības: augstu gravimetrisko lādinietilpību un ilgstošu litija jonu baterijas stabilitāti vairākkārtēju uzlādes – izlādes ciklu laikā.

## 1.2. Darba mērķis un uzdevumi

Darba mērķis ir, pielietojot elektroforētisko izgulsnēšanu, iegūt  $\text{Fe}_2\text{O}_3$ ,  $\text{TiO}_2$  un reducēta grafēna oksīda kompozītmateriāla kārtīnas. Izpētīt to fizikālās un elektrokīmiskās īpašības atkarībā no suspensijas sastāva un novērtēt to pielietojamību litija jonu baterijās. Lai to paveiktu, tika izvirzīti šādi uzdevumi:

1. Izmantojot elektroforētiskās izgulsnēšanas metodi iegūt rGO,  $\text{Fe}_2\text{O}_3/\text{rGO}$  un  $\text{TiO}_2/\text{rGO}$  kārtīnas;
2. Ar elektroforētiskās izgulsnēšanas metodi iegūt nanokompozīta kārtīnas ar dažādām pārejas metālu oksīdu molārajām attiecībām un reducēta grafēna oksīda elektrovadošu piedevu;
3. Izpētīt un salīdzināt iegūto nanokompozīta kārtīnu sastāvu, struktūru un morfoloģiju;
4. Noteikt elektrodu materiālu lādinietilpību un novērtēt uzlādes – izlādes procesa kinētiku;
5. Izvērtēt iegūtos rezultātus un prognozēt kompozītmateriāla pielietojamību litija jonu baterijās.

## 1.3 Autora ieguldījums

### Darba autors ir veicis:

1. Nanokompozīta kārtīnu elektroforētisko izgulsnēšanu, suspensiju sagatavošanu un analīzi un ieguvīs visas darbā pētītās materiāla kārtīnas;
2. Visu iegūtu materiālu retgendifrakcijas mēriju un nanokompozītu materiālu fāžu kvantitatīvā sastāva novērtējumu izmantojot Ritvelda metodi;
3. Bateriju pussūnu salīkšanu, iegūtu mēriju vizualizāciju un rezultātu analīzi.

Darba autors ir patstāvīgi apguvis un pielietojis elektrokīmiskās impedances spektru modelēšanu un iegūto datu interpretāciju. Darba autors ir pirmais un korespondējošais autors divām zinātniskām publikācijām citējamos žurnālos par promocijas darba tēmu.

## 1.4 Zinātniskā novitāte

Šajā darbā padziļināti pētīts trīskomponentu  $\text{Fe}_2\text{O}_3/\text{TiO}_2/\text{rGO}$  elektroda elektrokīmiskās īpašības un analizēta baterijas veikspēja atkarībā no  $\text{Fe}_2\text{O}_3$  un  $\text{TiO}_2$  molārās koncentrācijas. Starp pētāmajiem materiāliem atrasts labākais elektroda materiāla sastāvs, kas nodrošina gan augstu lādinietilpību, gan stabilitāti daudzkārtējas uzlādes - izlādes procesa laikā. Pirma reizi ar elektroforētiskās uznešanas metodi iegūtas dzelzs oksīda, titāna dioksīda un grafēna oksīdu nanokompozīta materiāla kārtīnas un novērtēts elektroda materiāla potenciāls pielietojumiem litija jonu baterijās atkarībā no suspensijas sastāva.

## **1.5 Promocijas darba struktūra**

Promocijas darba nodajās “Teorija un literatūras apskats” dots teorijas un literatūras apskats par baterijas uzbūvi, darbības principiem un ar baterijas darbību saistītajiem fizikālajiem parametriem. Tāpat arī aplūkoti izplatītākie katoda un anoda materiāli. Dots ieskats lādiņa uzglabāšanas procesos un aprakstīta elektroda – elektrolīta robežvirsmas nozīme baterijas darbības nodrošināšanā.

Nodajā “Eksperimentālā daļa” sniegs ieskats kompozītmateriāla kārtīpu sintēzes paraugu izgatavošanas procedūrā un pētījumos izmantotajā metodikā kā arī detalizētāk aprakstīti izmantotie materiāli.

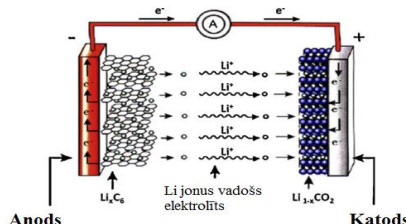
Praktiskie rezultāti apkopoti nodajas “Rezultāti un diskusija” 2 apakšnodajās:

1. Ar elektroforētiskās izgulsnēšanas metodi iegūti dzelzs oksīda, titāna dioksīda un reducētas grafēna oksīda elektrovadošas piedevas elektroda materiālu pētījumi.
2. Dažāda kvantitatīvā sastāva dzelzs oksīda un titāna dioksīda elektrodu kompozītmateriālu pētījumi.  
Noslēguma daļā apkopoti secinājumi, tēzes un autora publicitāte.

## 2. TEORIJA UN LITERATŪRAS APSKATS

### 2.1 Baterijas uzbūve un darbība

Baterija ir ierīce, kas tiešā veidā pārveido tās aktīvajos materiālos uzkrāto ķīmisko energiju elektriskajā oksidēšanās - reducēšanas reakciju veidā. Eksistē divu veidu baterijas – primārās un sekundārās. Primārās baterijas savu ķīmisko energiju elektriskajā spēj pārvērst tikai vienreiz, kamēr sekundārās paredzētas vairākiem uzlādes - izlādes cikliem. Robeža starp primāro un sekundāru bateriju nav konkrēta, jo daudzas primārās baterijas noteiktos apstākļos var tikt uzlādētas atkārtoti, tomēr tās nav pārāk stabilas. Pārejas metālu un reducētā grafična oksīda kompozītmateriāls darbā tiek pētīts kā sekundāru bateriju anodmateriāls, tāpēc ar vārdu baterija darba kontekstā tiks saprasta sekundāra baterija jeb vairākkārt uzlādējamā baterija. Baterija sastāv no savstarpejī virknē savienotām elektroķīmiskām šūnām [1]. Elektrodi tiek definēti kā katods (pozitīvais elektrods) un anods (negatīvais elektrods) kuri ievietoti elektrolītā - jonus vadošā (elektronus bloķējošā) vielā, kas parasti ir šķidrā vai cieta agregātstāvokli. Elektrodus vienu no otra atdala separatori. Atkarībā no tā vai baterija tiek uzlādēta vai izlādēta, uz viena elektroda notiek oksidēšanās (elektronu atdošana), uz otra vienlaicīgi reducēšanas reakcija (elektronu pievienošana). Ja ārējā kēde ir noslēgta, starp elektrodiem cauri elektrolītam pārvietojas joni, ārējā kēdē – elektroni. Elektronu plūsma ārējā kēdē nodrošina strāvu, kurai var pievienot elektroenerģijas patēriņtāju (skat. 2.1 att.).



2.1 att. Vienkāršots baterijas izlādes process [2].

Baterijas darbības laikā starp elektrodiem, kuri atrodas elektrolītā, ārēja elektriskā lauka ietekmē, plūst litija joni, kas interkalācijas un/vai konversijas reakciju rezultātā savienojas attiecīgo elektrodu, bet baterijas ārējā kēdē plūst elektriskā strāva – elektroni. Šī iemesls dēļ LJB piedier pie „sūpuļkrēsls tipa baterijām (rocking chair battery). Nosaukums veidojies Li<sup>+</sup> katjoniem pārvietojoties („šūpojoties“) starp elektrodiem. Tā kā joni nevis adsorbējas uz elektroda virsmas, bet gan interkalē (ievietojas) elektrodos, tiek novērsta dendritu (elektroda virsmas artefaktu) veidošanās un līdz ar to nevēlamas elektroķīmisko šūnu īsslēguma risks.

### 2.2 Anodmateriāli

Pirmais izmantotais negatīvā elektroda jeb anoda materiāls litija jonu baterijās, galvenokārt augstās gravimetriskās lādinietilpības ( $3800 \text{ mAhg}^{-1}$ ) dēļ, bija metālisks litjs. Litija joni izlādes procesā spēj pārvietoties cauri elektroda virsmas pasivējošajam slānim, taču uzlādes procesā tie mēdz izveidot dendritus (lāstekveida izaugumus) uz litija elektroda virsmas, kas var radīt elektrisku kontaktu starp katodu un anodu, izraisot īsslēgumu. Tādējādi radās nepieciešamība meklēt citus anoda materiālus, kuriem būtu zemāks ķīmiskais potenciāls kā metāliskam litijam. Labs materiāls šādiem nolūkiem izrādījās grafitšs, kura Fermī enerģija ir tikai par aptuveni  $0.5 \text{ eV}$  zemāka kā litijam. Litjs var atgriezeniski interkalēties grafitā, veidojot LiC<sub>6</sub> savienojumu [10]. Efektīva anodmateriāla meklējumi neaprobežojas tikai ar oglēkli un litiju, tiek pētīts arī amorfss silīcijss [11], Si nanovadi [12], Si kompozīti [13–14], titāna dioksīds [15] un tā nanovadi [16]. Pētījumos, kuros apskatīta oglēkļa savienojumu ietekme uz dzelzs oksīda anodmateriālu, secināts, ka oglēkļa piedevu masas daļai ir būtiska loma bateriju šūnas ciklējamības, lādinietilpības un vadītspējas izmaiņās [17]. Grafiens apvienojumā ar dzelzs oksīdu

samazina baterijas iekšējo pretestību un saīsina litija jonu difūzijas trajektoriju kā arī kavē dzelzs oksīda graudu aglomerāciju, tādējādi novēršot lādinietilpības samazināšanos un materiāla pulverizāciju litizācijas-delitizācijas laikā. Baterijas darbības laikā vairākkārtēji uzlādes - izlādes cikli, anodmateriālā rada mikroskopiskas tilpuma fluktuācijas, kas izraisa tā degradāciju un pulverizāciju. Grafēna vai rGO piedeva samazina šo faktoru ietekmi uz baterijas elektrokīmisko veikspēju [18]. Iemesli, kāpēc, sintezējot jaunus anodmateriālus, veido kompozītmateriālus, ir to pozitīvo īpašību apvienošana, kas dod ieguldījumu kopējā baterijas elektrokīmiskās veikspējas uzlabošanā un attīstīšanā. Apkopojoj literatūrā iegūto informāciju, tika secināts, ka triju komponentu elektrodmateriāli uzrāda labākus baterijas kopējos rādītājus salīdzinājumā ar katru atsevišķu elektroda materiāla veikspēju.

Interkalācijas, piemaisījuma un konversijas reakcijas ir trīs pamata mehānismi, kas dominē enerģijas uzglabāšanā LJB. Tipiskie interkalācijas anoda materiāli (grafti,  $TiO_2$  u.c.) ir raksturīgi ar vienu vai vairākiem jonu transporta kanāliem, kas nodrošina litija jonu interkalāciju bez būtiskām materiāla struktūras izmaiņām. Piemaisījuma gadījumā veidojas saite starp litija jonu un pamata materiāla atomu (A), piem., Si, Ge, Sn, veidojot Li-A cietvielu maišījumu. Konversijas tipa enerģijas uzglabāšanas reakcija norisinās, litija jonam saistoties ar bināras struktūras materiālu (MX), kur M - pārejas metāli (Fe, Co, Cu) un X – oksidētājs (O, S, F). Procesa gaitā metāla (M) katjons tiek reducēts uz  $M^0$ , un vienlaicīgi kā reakcijas blakusprodukts veidojas  $LiX$  [19].

## 2.3 Katodmateriāli

Liela daļa pētījumu litija jonu baterijas attīstībā fokusējas uz atbilstoša katodmateriāla meklējumiem, kurā būtu atvieglota litija jonu injekcija un ekstrakcija pie augstiņiem potenciāliem (4 V pret  $Li/Li^+$ ) [20]. Katods ir baterijas pozitīvais elektrods, uz kura izlādes laikā notiek reducēšanās reakcijas. Kā strāvas kolektoru katodmateriāla pētījumos parasti izmanto alumīniju, kas ir saistīts ar tā augsto oksidēšanās potenciālu (4.7 V pret  $Li/Li^+$ ), līdz ar to tas ir elektrokīmiski stabils. Katoda veikspēja atkarīga no izmantotā materiāla morfoloģijas, mikrostruktūras un elektrokīmiskajām īpašībām. Enerģijas uzglabāšanu nodrošina divi galvenie mehānismi – interkalācija un konversija. Interkalācijas procesā katodmateriāla funkcija ir litija jonu "uztveršanas tīkls", kurā joni iespiežas atomu telpā un izgulsnējas starp materiāla slāniem. Konversijas tipa enerģijas uzglabāšana ir cietās vielas reducēšanās – oksidēšanās reakcijas, kurās notiek kristāliskā režīga izmaiņas ar sekojošu kīmisko saišu saraušanu un rekombināciju. Ievērojama elektroda materiāla tilpuma izmaiņa litizācijas – delitizācijas laikā un vāja elektronu vadītspēja konversijas tipu katodmateriālu izstrādē joprojām ir liels izaicinājums pētniekiem.

Pēc enerģijā uzglabāšanas tipa katodmateriāli iedalās trijās kategorijās - kalcogenīdi, pārejas metālu oksīdi un polianjonu kompozīti. Lielākā daļa pētījumu fokusējas uz pārejas metālu oksīdiem, kas saistīts ar augsto enerģijas uzglabāšanas ietilpību [21]. Pēc struktūras katodmateriāli iedalās – olivīna (*olivine*), slānainā (*layered*) un spīnela (*spinel*) tipa. Slānainās struktūras  $LiCoO_2$  (LCO) ir viens no biežāk izmantotajiem katodmateriāliem, tomēr tas nav ērts lielām baterijām, jo liela daudzuma kobalta izmantošana enerģijas uzglabāšanas ierīcēs ir ekonomiski nelietderīga. Plaši izplatīti ir spīnelu tipa katodmateriāli, kuru raksturīgā struktūrformula ir  $AB_2O_4$ , un plašāk izmantotais šīs grupas katodmateriāls ir  $LiMn_2O_4$  (LMO). Viena no galvenajām priekšrocībām, salīdzinot ar citiem tipiem, ir spīnela struktūras augstā noturība atkārtotos uzlādes - izlādes ciklos, bet kā trūkumu var minēt augstu jutīgumu pret ārējās vides temperatūras izmaiņām. LFP jeb  $LiFePO_4$  olivīna tipa polianjoniski katodmateriāli joprojām tiek plaši pētīti saistībā ar materiāla pielietojumiem augstas jaudas sekundārajās baterijās un noturīgo stabilitāti pie lielām temperatūras izmaiņām. Tādi būtiski materiālu izvēles faktori kā zemas izmaksas un videi draudzīgs, padara to par piemērotu katodmateriālu bateriju ražošanai elektromobiliju industrijā [22-24]. Slānveida  $LiNi_xCo_yMn_{1-x-y}$  (NMC) materiāli ir daudzsolosā un ekonomiski izdevīga alternatīva LJB katodmateriālu pielietojumos. Tos var uzlādēt līdz augstākiem robežpotenciāliem (anglu val. *cut-off voltage*)  $Mn^{4+}$  klātbūtnes dēļ, kas stabilizē struktūru un nodrošina lielāku praktiski sasniedzamo lādinietilpību ( $>160$  mAh $^{-1}$ ). NMC uzrāda augstu teorētisko lādinietilpību (275 mAh $^{-1}$ ) un minimālās fāžu pārejas uzlādes - izlādes ciklu laikā 2.5-4.4 V sprieguma diapazonā. Ni, Mn un Co dažādos veidos uzlabo NMC katodmateriāla veikspēju. Ar Ni piesātināti

materiāli uzrāda augstu izlādes jaudu, ar Mn - nodrošina augstu ciklēšanas ilgumu un termālo drošību, savukārt ar Co piesātināti materiāli nodrošina efektīvu ātrumspēju [67].

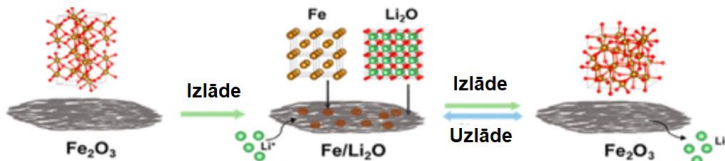
## 2.4 Elektrolīts

Litija jonu baterijas elektrolīta funkcija ir jonu transportēšana starp katodu un anodu. Elektrolītu var uzskatīt par LJB inerto komponentu, un tam jāparāda stabilitāte gan pret katoda, gan anoda virsmu. LJB darbības laikā elektrolīts saglabā kīmisko stabilitāti un visi faradeiskie procesi notiek elektrodos. Elektrolītam jāatbilst šādiem minimālajiem kritērijiem: 1) labs jonu vadītājs un elektronu izolators, lai jonu ( $\text{Li}^+$ ) transportēšana būtu viegla un baterijas pašizlāde būtu minimāla; 2) stabils plašā sprieguma diapazonā, saglabājot stabilitāti katoda un anoda darbības potenciālu diapazonā; 3) inerts attiecībā pret citām LJB komponentēm, piemēram, pret separatoria, elektrodu pamatnes un baterijas korpusa materiāliem; 4) termiski stabils (šķidrājiem elektrolītiem gan kušanas, gan viršanas temperatūrai jābūt ārpus ekspluatācijas temperatūrām); 5) zema toksicitāte; 6) jābalstās uz ilgtspējīgu kīmiju, kas nozīmē, ka elementiem jābūt pieejamiem un sinfēzes procesam ekonomiski izdevīgam un vienkāršam; 7) pēc iespējas zemākām materiāļu un ražošanas izmaksām. Elektrolītus var iedalīt: 1) neūdens elektrolītos, kas sastāv no litija sāls, kas izšķidināta organiskā šķīdinātājā vai šķīdinātāju maišījumā, 2) ūdens šķidumā, kas sastāv no litija sāls, kas izšķidināta ūdenī, 3) jonu šķidrumos, kas sastāv no organiskās sāls ( $\text{R}^+\text{X}^-$ ), kas leģēta ar litija sāls ekvivalenta daļu ( $\text{Li}^+\text{X}^-$ ), 4) polimēru elektrolītos - gēla polimērā un cietā polimērā, un 5) hibrīda elektrolītos [68].

## 2.5 Izmantotie materiāli

Elektroda sintēzei tika izmantots  $\text{Fe}_2\text{O}_3$ , kam raksturīga augsta teorētiskā lādinietilpība (1006 mAh/g),  $\text{TiO}_2$  – piemīt augsts ciklēšanas noturīgums un reducēts grafiķa oksīds (rGO) kā elektronu vadoša pildviela vāji vadošajās pārejas metālu oksīdu matricās. Katram no šiem materiāliem ir siksni uzglabāšanas mehānisms. Raksturīgais  $\text{TiO}_2$  interkalācijas vienādojums:  $x\text{Li}^+ + \text{TiO}_2 + \text{x e}^- \leftrightarrow \text{Li}_x\text{TiO}_2$  ( $0 < x \leq 1$ ). Titāna dioksīds ir ekoloģisks, ekonomiski izdevīgs un tam raksturīgas nelielas kristāliskā režģa tilpuma izmaiņas ( $\approx 4\%$ ) elektrokīmiskās ciklēšanas laikā. Būtiskākie  $\text{TiO}_2$  ierobežojumi bateriju pielietojumos ir tā zemā teorētiskā lādinietilpība (335 mAhg<sup>-1</sup>) un vājā elektriskā vadītspēja, kas ir robežās no  $10^{-12}$  līdz  $10^{-7}$  Scm<sup>-1</sup> [25].

Starp pārejas metālu oksīdiem dzelzs oksīdam raksturīga viena no augstākajām teorētiskajām lādinietilpībām.  $\text{Fe}_2\text{O}_3$  plašāk izplatītās materiāla fāzes ir alfa (hematiīts), beta, gamma (magemīts), tas piederi pie III grupas pārejas metāliem. Valences elektroni dzelzs atomā, tāpat kā visi pārejas metāliem, izvietojas vairākās orbitālēs, tādēļ savienojumos dzelzs var mainīt oksidācijas pakāpi, no kurām biežāk sastopamās ir +2 un +3. Tā kā  $\text{Fe}_2\text{O}_3$  ir plāši izplatīts dabā, nav toksisks, viegli iegūstams kīmiskais elements, tas ir kļuvis par perspektīvu materiālu litija jonu bateriju elektrodu materiālu pielietojumos. Litija uzglabāšanas veids ir konversijas tipa reakcija, kurā litija jonu ievietošanās laikā dzelzs oksīds tiek reducēts Fe nanoklāsteros, kas disperģēti  $\text{Li}_2\text{O}$  matricā, savukārt elektroda materiāla delitizācijas procesā notiek atgriezeniska atjaunošanās elementu sākotnējos oksidācijas stāvoklos (skat. 2.2 att.). Notiekošās reducēšanās un oksidēšanās reakcijas ir:  $\text{Fe}_2\text{O}_3 + x\text{Li}^+ + \text{x e}^- \rightarrow \text{Li}_x\text{Fe}_2\text{O}_3$  un  $\text{Li}_x\text{Fe}_2\text{O}_3 + (6-x)\text{ Li}^+ + (6-\text{x})\text{ e}^- \leftrightarrow 2\text{Fe}^0 + 3\text{Li}_2\text{O}$ . Dzelzs (III) oksīds elektrokīmiski inducētā konversijas reakcijā saista litija jonus, un 1 mols dzelzs oksīda uzņem 6 molus litija  $\text{Fe}_2\text{O}_3 + 6\text{ Li} \leftrightarrow 2\text{ Fe} + 3\text{Li}_2\text{O}$  [26].

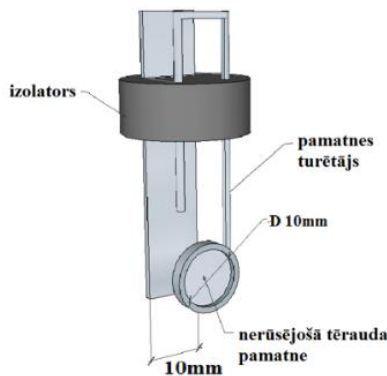


2.2 att. Dzelzs (III) oksīda elektroda materiāla litizācijas – delitizācijas shematisks process [26].

Grafēns ir oglekļa atomu monoslānis ar unikālām elektriskajām un mehāniskajām īpašībām. Tā kā tāra grafēna sintēze nav ekonomiski izdevīga, izmanto grafēna oksīdu, kuru reducē, tā fizikālās īpašības tuvinot grafēnam. Pētījumā kā elektrovadoša piedeva izmantots termiski reducēts grafēna oksīds no kura reducēšanas laikā tiek atdalīta = O un - OH grupas [27].

## 2.6 Nanokristālisku kārtiņu izgatavošanas tehnika

Lai iegūtu pētāmās kārtiņas uz nerūsējošā tērauda pamatnes, tika izmantota līdzstrāvas elektroforētiskā materiāla izgulsnēšanas metode (EPD), kas ir vienkārša un ekonomiski izdevīga, kuras veikšanai nepieciešams tikai līdzstrāvas barošanas bloks un divas strāvu vadošas pamatnes, kas ievietotas suspensijā (skat. 2.3 att.).



2.3 att. Elektroforētiskās izgulsnēšanas veikšanai konstruētā divu elektrodu sistēma.

Elektroforētiskās izgulsnēšanas laikā suspensijā esošās lādētās daļīnas ārējā elektriskā lauka ietekmē migrē uz vienu no elektrodiem, izgulsnējas uz tā, veidojot plānu nogulšņu kārtiņu. Darbā tika pētīta triju vielu –  $\text{Fe}_2\text{O}_3$ ,  $\text{TiO}_2$  un grafēna oksīda - kompozītmateriāla iegūšana, izmantojot elektroforētiskās izgulsnēšanas metodi. Uzsākot darbu, tika definēti eksperimenta robežnosacījumi – dispersās fāzes koncentrācija, elektriskā lauka vērtība, suspensijas pH vērtība, suspendēto daļīnu zeta potenciāls un izgulsnēšanas laiks. Viena no lielākajām EPD metodēs priekšrocībām ir tās atkarīojamība un kontrolejamība. Izmantojot EPD netiek izmantotas toksiskas vielas un neveidojas bīstami atkritumi, kā arī nav nepieciešams pievienot saistvielas. EPD procesa laikā ir iespēja kontrolēt iegūstamās materiāla kārtiņas biezumu un morfoloģiju variējot ārējā elektriskā lauka lielumu un izgulsnēšanas laiku.

### **3. EKSPERIMENTĀLĀS METODES**

#### **3.1 Pētāmo materiālu sagatavošana**

Uzsākot pētījumus pārejas metālu oksīdu un elektrovadošas piedevas – reducēta grafēna oksīdu plielietojumu lītija jonu baterijās, ir nepieciešams sagatavot šo materiālu darba elektrodus jeb pētāmās kārtīnās. Lai sagatavotu titāna oksīda TiO<sub>2</sub>/grafēna oksīda (GO) suspensiju, tika izmantots 22.5 mg TiO<sub>2</sub> nanodalīju pulveris (*Sigma-Aldrich* tīrība ≥99.5%, daļiņu izmērs līdz 21 nm), ko pievienoja 97.5 ml dejonēzētam ūdenim (DI), kas iepriekš tika novietots uz magnētiskā maisītāja. Iegūtajai suspensijai tika pievienots 2.5 ml komerciālās GO ūdens suspensijas (*BGT Materials*, grafēna oksīda pārslu izmērs robežās no 1 – 20 µm, suspensijas pH 7, GO koncentrācija 1 mg/ml). Līdzīgi tika sagatavota dzelzs oksīda/grafēna oksīda suspensija (Fe<sub>2</sub>O<sub>3</sub>, *Sigma-Aldrich* tīrība ≥99.5%, daļiņu izmērs līdz 50 nm). Lai nodrošinātu vienmērīgu daļiņu dispersiju ūdenī, pagatavotās suspensijas vienu stundu tika izturētas ultraskāpas vannā (*Amsonic-Branson Ultrasonic cleaning tank, BC series*) un pēc tam maisītas uz magnētiskā maisītāja (t=30 min, V=250 apgr/min). Lai analizētu tīra grafēna oksīda fizikālos un elektroķīmiskos parametrus, elektroforētiskai uznešanai tika izmantota iepriekš minētā tīra grafēna oksīda ūdens suspensija. Elektroforētiskā izgulsnēšana veikta istabas temperatūrā (T=293K), gavanostatiskā (konstantas strāvas) režīmā, izmantojot līdzstrāvas barošanas bloku (*Agilent Technologies N5772A*); normērtais suspensijas pH = 4 (mērits ar *pH-meter, Metrohm*), izgulsnēšanas laiks t = 300 s, elektriskās strāvas stiprums I = 31 mA.

Lai no grafēna oksīda iegūtu elektrovadošu piedevu – reducētu grafēna oksīdu, kā arī kristalizētu izgulsnētās kārtīnas, tika veikta paraugu karsēšana Ar/H plūsmā izmantojot programmējamo cauruļveida mufelkrāsi *SNOL 0.2/1250*, karsēšanas solis 5°C/min. Iegūtajām materiāla kārtīnām veikta biezumu un masas noteikšana. Biezums tika noteikts izmantojot profilometru (*Veeco Dektak stylus profilometer 150*, ar adatas diametru 12.5 µm). Kārtīnas masa tika noteikta kā masu starpība starp tērauda pamatni pirms un pēc EPD procesa. Masas noteikšanai tika izmantoti analitiskie svari *Mettler Toledo XS105*, maksimālais masas robeža 41 g, precizitāte ± 0,01 mg.

Lai iegūtu elektrodu materiālus turpmākiem pētījumiem, tika sagatavotas suspensijas ar dažādām Fe<sub>2</sub>O<sub>3</sub> un TiO<sub>2</sub> molārajām attiecībām - 1:1, 2:1 un 3:1. Termins “molārās attiecības” darba kontekstā tiks lietots, lai apzīmētu suspensiju sagatavošanas procesu, kurā iesverot materiālus, nēmtas vērā katra ķīmiskā savienojuma molmasas. Iegūtie elektroda materiāli tika marķēti ar sādiem apzīmējumiem - FT11, FT21 un FT31, kuros ietverts katras pārejas metāla oksīda latīņiskā nosaukuma pirmais burts un attiecīgā suspensijas sagatavošanā izmantotā materiāla molārā masas daļa. Kā elektrovadoša piedeva tika izmantoti 10 wt% grafēna oksīda, kas pēc attiecīgo nanokompoziitu kārtīnu iegūšanas tiek reducēts.

#### **3.2 Iegūto kārtīnu sastāva, struktūras un morfoloģijas pētījumi**

Lai iegūtu priekšstatu par pētāmā materiāla kārtīnu virsmas morfoloģiju, daļiņu izmēru un homogenitāti, tika veikta skenējošā elektronu mikroskopija, izmantojot mikroskopu (*SEM, Tescan Lyra 3*, elektronus paātrinošais spriegums 5 - 15 kV). Rentgenstaru difrakcijas (XRD) mēriņumiem tika izmantotis difraktometrs *Rigaku MiniFlex 600*, ar Cu anodu, difrakcijas leņķa precizitāte ±0.02°, izmantotais rengēnstaru vilņa garums CuK<sub>a</sub> = 1.54 Å, darbības spriegums 45 kV, strāva 40 mA. Lai pārliecīnātos par grafēna oksīda veiksmīgu reducēšanos uz rGO, iegūtajām materiāla kārtīnām tika veikta Ramana spektroskopija, izmantojot Ramana spektrometru *TriVista CRS Confocal TR777*, ražotājs “GmbH”, vilņa skaitļa diapazons 10 cm<sup>-1</sup> – 9000 cm<sup>-1</sup>, izšķirtspēja 0.1 cm<sup>-1</sup>, izmantotais lāzera vilņa garums 532 nm. Lai veiktu iegūto materiālu kārtīnu aktīvās virsmas laukuma un porainības novērtējumu, tika veikta BET (*Brunauer–Emmett–Teller*) analīze izmantojot slāpekļa sorbcijas procesus uz cietās vielas daļiņām (*NOVA series, High speed surface area & Pore Size analyzer, LV Koksnes Ķīmijas Institūts*). Lai novērtētu iegūto kārtīnu reljefu, tika veikta kārtīnu virsmas analīze, izmantojot atomspēku mikroskopiju (*Atomic Force Microscopy, AFM, Renishaw*), pieskāršanās režīmā (Si adata, r = 10 nm). Lai iegūtu informāciju par nanokompoziitu kārtīnu sastāvu un novērtētu ķīmisko elementu daudzumu, tika veikta rentgenstaru mikrospektrālā analīze (EDX), izmantojot iekārtu (*SEM, Tescan Lyra 3*, elektronus paātrinošais spriegums 5- 15 kV, detektors EDX *Oxford X-Max 50 mm<sup>2</sup>*). Lai noteiktu

nanokompozītu materiālu kārtīnu virsmas sastāvā esošo ķīmisko elementu valences un ķīmisko elementu daudzumu, tika veikta rentgenstaru fotoelektronu spektroskopija (*XPS - X-ray photoelectron spectroscopy*), izmantojot mērinstrumentu (*ESCALAB Xi*, "ThermoFisher"). XPS spektri tika uzņemti vakuuma kamерā ar spiedienu zem  $2 \cdot 10^{-10}$  Torr, izmantojot Al K<sub>a</sub> rentgenstarus ar enerģiju  $\approx 1.5$  keV.

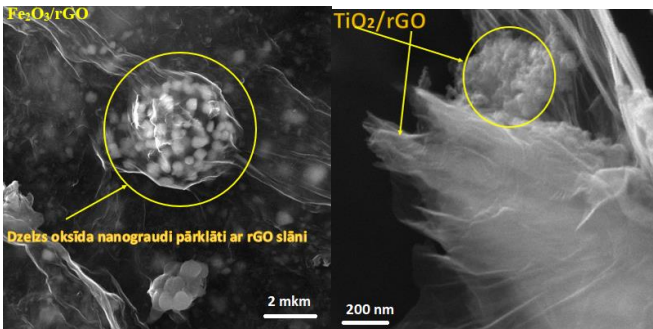
### 3.3 Elektroķīmiskie mēriņumi

Elektrodū materiālu elektroķīmiskās veiktspējas mēriņumi tika veikti saliekot bateriju pussūnas (*half – cell*), kurās kā darba jeb pētāmais elektrods tika izmantotas iegūtās materiāla kārtīnas, bet pretelektrods – metālisks litijs (references elektrods). Visa sistēma atrodas elektrolītā, darba elektrodū un metālisku litiju atdala separators. Jāpiebilst, ka pilna šuna sastāv no bateriju šūnas, kurā kā elektrodi ir gan katodmateriāls, gan anodmateriāls. Bateriju pussūnas veiktspējas mēriņumi  $\text{Fe}_2\text{O}_3/\text{rGO}$ ,  $\text{TiO}_2/\text{rGO}$  un rGO elektroda materiāliem tika veikti *Swagelok* tipa šūnā, materiāls – nerūsējošais tērauds 316, iekšējais diametrs – 12.7 mm. Bateriju pussūnas tika saliktas ar argonu pildītā ciimdu kastē ("Glove Box", *Unilab Pro Eco 4 gloves*, ražotājs "MBraun",  $\text{O}_2$  0.5 ppm,  $\text{H}_2\text{O}$  0.5 ppm), izmantojot komerciālu elektrolītu LiPF<sub>6</sub> 1M šķidums etilēnkarbonātā (EC) un dimetilkarbonātā (DMC), šķidinātāju masas attiecība – 1:1 (*Sigma-Aldrich*, tīrība  $\geq 98.0\%$ ). Elektrolīta precīza tilpuma mērišanai izmantota mikropipete *Proline Plus* (ražotājs "Sartorius") (20-200  $\mu\text{L}$ ,  $\pm 0.02$   $\mu\text{L}$ ). Izmantotais separators – *Whatman* stikla mikrošķiedras filtrs GF/F (poru vidējais diametrs 0.7  $\mu\text{m}$ ) un atskaites elektrods – metālisks litijs (*Sigma Aldrich*, 0.75 mm x 19 mm). Lai nodrošinātu stabilas, homogēnas elektroda – elektrolīta robežvīrsmas veidošanos, tika izmantota 5 wt% fluoretilēnkarbonāta (FEC) piedeva. Bateriju mēriņumi (ātrumspēja, ciklējamība, cikliskā voltamperometrija - CV un elektroķīmiskā impedances spektroskopija - EIS) tika veikti, izmantojot potenciostatu - galvanostatu *BioLogic VMP3*. Impedances ekvivalento shēmu rezultāti iegūti un analizēti izmantojot *EC-Lab V11.41*, *Z-FIT-Bio-Logic* programmatūru.

## 4. REZULTĀTI UN DISKUSIJA

### 4.1. Ar elektroforētiskās izgulsnēšanas metodi iegūti dzelzs oksīda, titāna dioksīda un reducētas grafēna oksīda elektrovadošas piedevas elektroda materiālu pētījumi

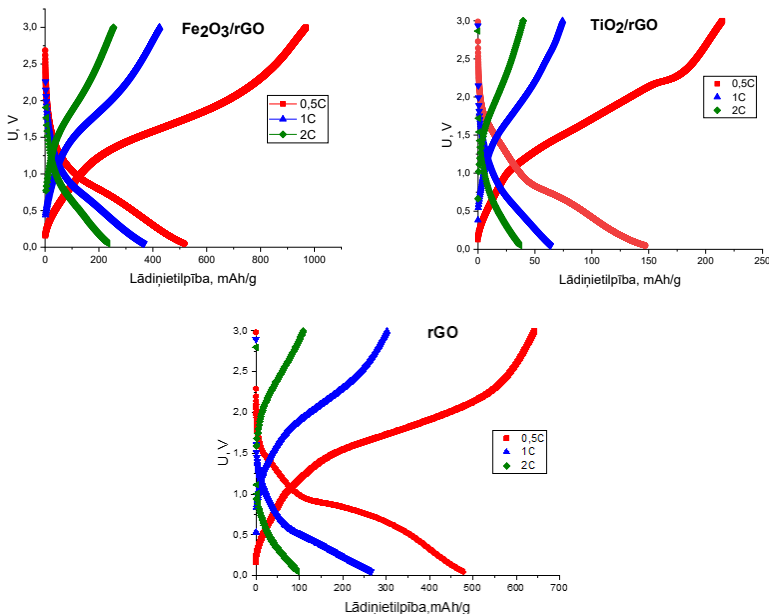
$\text{Fe}_2\text{O}_3/\text{rGO}$ ,  $\text{TiO}_2/\text{rGO}$  un rGO kārtiņu masas tika novērtētas diapazonā no  $0.35 - 0.65 \pm 0.01 \text{ mg}$ , bet biezumi robežās no  $2.2 - 4.8 \pm 0.1 \mu\text{m}$ . Skenējošās elektronu mikroskopijas (SEM) analīze uzrāda  $\text{Fe}_2\text{O}_3$  un  $\text{TiO}_2$  nanodaļu un aglomerātu ievietošanos rGO slāņos un piesaistīšanos uz tā virsmas (skat. 4.1 att.). Noteiktais titāna dioksīda graudu izmērs no 30-50 nm. Dzelzs oksīda graudu izmērs 300-500 nm.



4.1 att.  $\text{Fe}_2\text{O}_3/\text{rGO}$  un  $\text{TiO}_2/\text{rGO}$  kārtiņu SEM attēli.

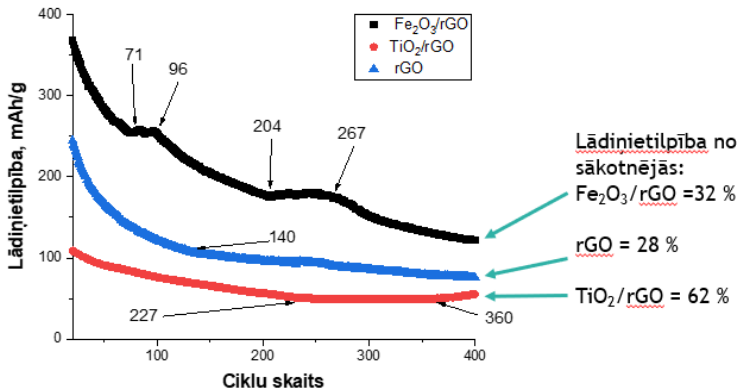
Rentgendifrakcijas (XRD) analīze uzrāda, ka kārtiņas sastāv no dzelzs oksīda  $\gamma\text{-Fe}_2\text{O}_3$  (magemīta), anatāza fāzes  $\text{TiO}_2$  un nelielu rutila fāzes  $\text{TiO}_2$  piejaukumu.  $\text{TiO}_2/\text{rGO}$  sastāvā identificēts rGO. Aprēķinātais kristalītu vidējais izmērs: 19.5 nm ( $\text{Fe}_2\text{O}_3/\text{rGO}$ ) un 42.8 nm ( $\text{TiO}_2/\text{rGO}$ ). Analizējot Ramana spektrus, tika novērota reducēta grafēna oksīda klātbūtnē iegūtajos nanokompozītos un konstatēts, ka G joslas intensitāte pie vilņa skaitlā vērtības  $1600 \text{ cm}^{-1}$  ir nedaudz augstāka par D joslas intensitāti pie  $1350 \text{ cm}^{-1}$ , ko apliecinā arī aprēķinātā  $I_D/I_G$  joslu intensitāšu attiecības vērtības samazināšanās. Grafēna oksīda D un G joslu intensitāšu attiecības aprēķinātā vērtība ir 1.1, savukārt pēc tā reducēšanas attiecīgi  $I_D/I_G = 0.96$ , kas liecina, ka reducēšanas procesā D un G joslu intensitāšu attiecība ir samazinājusies par 13 %, grafēna oksīda reducēšanas process noritējis veiksmīgi un notikusi daļēja oglekļa atomārās struktūras atjaunošanās. Plats maksimums vilņa skaitlā robežās no 2500 līdz 3500  $\text{cm}^{-1}$  liecina par daudzslāņu grafēnu (*FLG - Few Layered Graphene*) klātbūtni iegūtajās materiāla kārtiņas [28-30]. Veicot BET analīzi tika konstatēts, ka lielāko virsmas laukumu  $50.2 \pm 0.1 \text{ m}^2\text{g}^{-1}$  un poru tilpumu  $0.16 \pm 0.05 \text{ cm}^3\text{g}^{-1}$  uzrādīja  $\text{TiO}_2/\text{rGO}$  materiāla kārtiņa, un abas nomērītās vērtības ir tuvas zinātniskajā literatūrā aprakstītajiem rezultātiem. Tika konstatēts, ka vidējais poru diametrs abām pārejas metālu oksīdu kārtiņām ir aptuveni 12 nm [31]. Jāpiebilst, ka  $\text{Fe}_2\text{O}_3/\text{rGO}$  un  $\text{TiO}_2/\text{rGO}$  uzrādīja augstākas poru tilpuma un vidējā poru diametra vērtības, salīdzinot ar tīru reducēta grafēna oksīda kārtiņu.

Veicot iegūto elektrodmateriālu ātrumspējas testus un palielinot bateriju pussūnai pielikto strāvu no 0.5C līdz 2C, pētāmo elektroda materiālu  $\text{Fe}_2\text{O}_3/\text{rGO}$ ,  $\text{TiO}_2/\text{rGO}$  un rGO attiecīgās gravimetriskās lādiņietilpības samazinājās par 64 %, 73 % un 77 %. Iegūtais rezultāts norāda uz to, ka visaugstāko toleranci pret strāvas pieaugumu uzrāda  $\text{Fe}_2\text{O}_3/\text{rGO}$ . Lai identificētu iespējamos plato pie noteiktām sprieguma vērtībām un raksturotu pētāmo elektrodu materiālu uzlādes – izlādes līknes, tika konstruēti galvanostatiskie profili (skat. 4.2 att.).



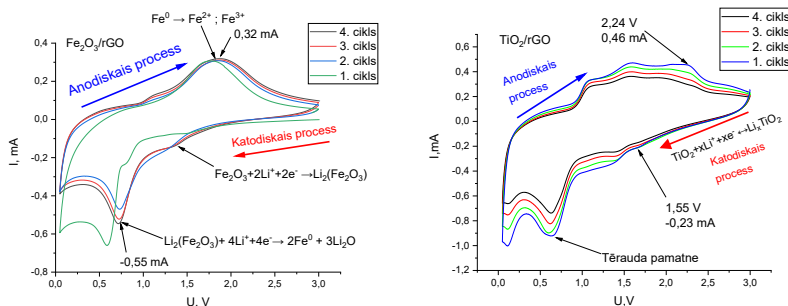
4.2 att.  $\text{Fe}_2\text{O}_3/\text{rGO}$ ,  $\text{TiO}_2/\text{rGO}$  un rGO elektroda materiālu galvanostatiskie profili.

Analizējot pētāmo elektrodu materiālu galvanostatiskās uzlādes – izlādes līknes, netika konstatēti izteikti uzlādes izlādes plato, kuri raksturotu pētāmo materiālu elektrokīmisko veikspēju. Elektroda materiāls  $\text{Fe}_2\text{O}_3/\text{rGO}$  pie strāvas stipruma 0.5 C uzrādīja nelielu izlādes plato pie 0.8 V, kas raksturīgs pakāpeniskam  $\text{Fe}_2\text{O}_3$  reducēšanas procesam no  $\text{Fe}^{3+}$  uz  $\text{Fe}^0$ .  $\text{TiO}_2/\text{rGO}$  un rGO elektrodu materiāliem tika konstatēts neizteikts plato sprieguma diapazonā no 0.6 – 0.9 V, kas atbilst litija jona interkalācijai elektroda materiāla struktūrā [32-33]. Augstākās pētāmo elektroda materiālu gravimetriskās lādinietilpības pie izlādes strāvas 0.5 C tika noteiktas:  $\text{Fe}_2\text{O}_3/\text{rGO} = 604 \text{ mAhg}^{-1}$ ,  $\text{TiO}_2/\text{rGO} = 280 \text{ mAhg}^{-1}$  un rGO =  $473 \text{ mAhg}^{-1}$ . Veicot pētāmo elektrodu materiālu ciklējamības mērījumus tika konstatēts, ka augstāko ciklēšanas stabilitāti uzrāda  $\text{TiO}_2/\text{rGO}$  elektroda materiāls (skat. 4.3 att.), ko raksturo pēc ciklēšanas procentuāli saglabātā lādinietilpība. Tas paver iespēju izmantot  $\text{TiO}_2$  kā stabilizējošu matricu, lai uzlabotu citus iespējamos LJB elektroda materiālus ar zemākiem ciklējamības rādītājiem.



4.3 att. Lādinietilpība kā funkcija no izlādes ciklu skaita.

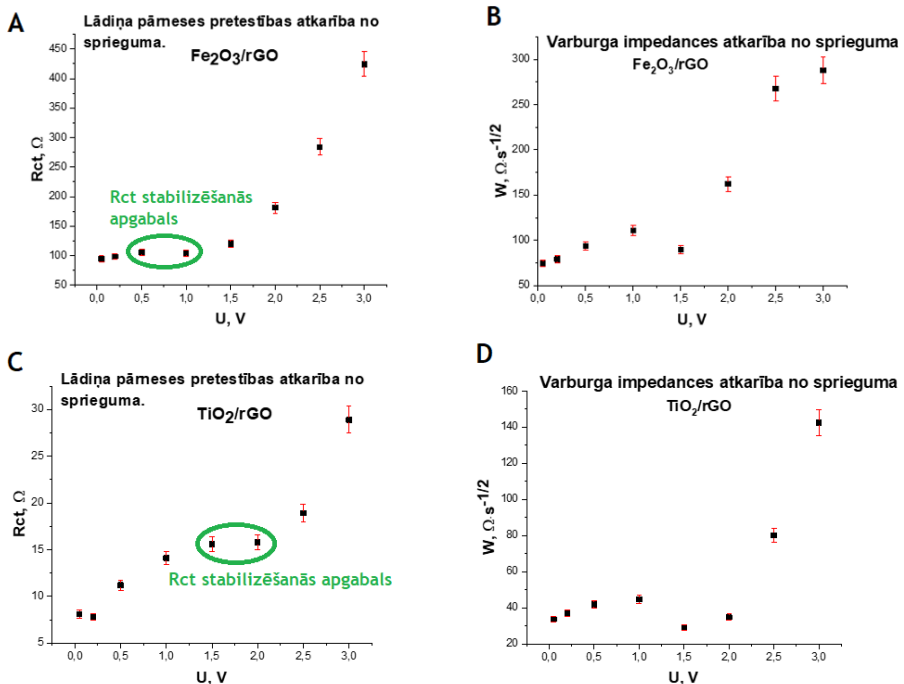
Tā kā šī darba mērķis ir veikt pārejas metālu oksīdu LJB elektroda materiālu pētījumus, bet rGO šī darba kontekstā tiek izmantots kā elektronus vadoša piedeva pie vāji vadošām Fe<sub>2</sub>O<sub>3</sub> un TiO<sub>2</sub> matricām, tad turpmākā pētījuma gaitā rGO elektroķīmiskā aktivitātē vairs netiek aplūkota. Veicot Fe<sub>2</sub>O<sub>3</sub>/rGO, TiO<sub>2</sub>/rGO elektrodu materiālu cikliskās voltamperometrijas (CV) mērījumus (skat. 4.4 att.), tika konstatēti Fe<sub>2</sub>O<sub>3</sub> un TiO<sub>2</sub> raksturīgie litija injekcijas un ekstrakcijas maksimumi un augsts oksidēšanās reducēšanās reakciju apgriezeniskums, ko apliecinā vairāku CV ciklu pārkāšanās.



4.4 att. Fe<sub>2</sub>O<sub>3</sub>/rGO un TiO<sub>2</sub>/rGO elektroda materiālu pirmo četru ciklu CV līknes. Sprieguma izvērses ātrums 1 mV·s<sup>-1</sup>, sprieguma diapazons 0.05–3 V.

Fe<sub>2</sub>O<sub>3</sub>/rGO elektroda materiālā novērota cauri elektrodam plūstošās strāvas palielināšanās pieaugot uzlādes – izlādes ciklu skaitam, kas sakrīt ar elektroķīmiskās impedances spektroskopijā iegūtajiem rezultātiem. Novērotās parādības iespējamie cēloņi ir: pārejas metālu oksīdu secīgas uzlādes – izlādes laikā veidojas metāla nanodaļīnas, kas uzlabo elektroda elektrisko vadītspēju [34] un elektroķīmiskā ciklēšana optimizē nanokompozīta elektrodu materiāla nanodaļīnu savstarpējo mijiedarbību, kas uzlabo tā elektrisko vadītspēju un litija jonus kinētiku [35]. TiO<sub>2</sub>/rGO elektroda materiālu litija injekcijas strāvas vērtības vairākkārtēju CV ciklu laikā nedaudz samazinās, kas liecina par elektroda polarizāciju un SEI (*solid – electrolyte interface*) slāņa augšanu [36]. Izmantojot Randlesa – Sevčika vienādojumu [2-3], tika aprēķināti katodiskā cikla litija kīmiskie difuzijas koeficienti: D(Fe<sub>2</sub>O<sub>3</sub>/rGO) =  $16 \cdot 10^{-14}$  cm<sup>2</sup>/s un D(TiO<sub>2</sub>/rGO) =  $1 \cdot 10^{-14}$  cm<sup>2</sup>/s. Saldzinot pētāmo elektrodu cikliskās voltamperometrijas līknes ar uzlādes – izlādes profiliem, tika secināts, ka katodisko litija injekcijas maksimumu sprieguma vērtībām ir zināms tuvinājums ar identificētajiem izlādes plato reģioniem uzlādes – izlādes profilos (skat 4.2 att.).

Analizējot rezultātus, kas iegūti pielietojot elektroķīmiskās impedances spektroskopiju (EIS), tika novērota laba eksperimentālo un aprēķināto spektru sakritība. Noteiktā lādiņa pārneses pretestība  $\text{TiO}_2/\text{rGO}$  elektrodam ir  $15 \Omega/\text{cm}^2$ , kas ir būtiski mazāka kā  $\text{Fe}_2\text{O}_3/\text{rGO}$  elektroda materiālam ( $131 \Omega/\text{cm}^2$ ). Legūtais rezultāts demonstrē stratēģiju lādiņa pārneses atvieglošanai, piemēram, integrējot abus pārejas metālu oksīdus vienā elektroda materiālā. Analizējot EIS spektru ekvivalentās shēmas modelēšanas rezultātus, tika konstruēti grafiki - lādiņa pārneses pretestības un Varburga impedance kā funkcija no bateriju pusšūnas sprieguma (skat. 4.5 att.).

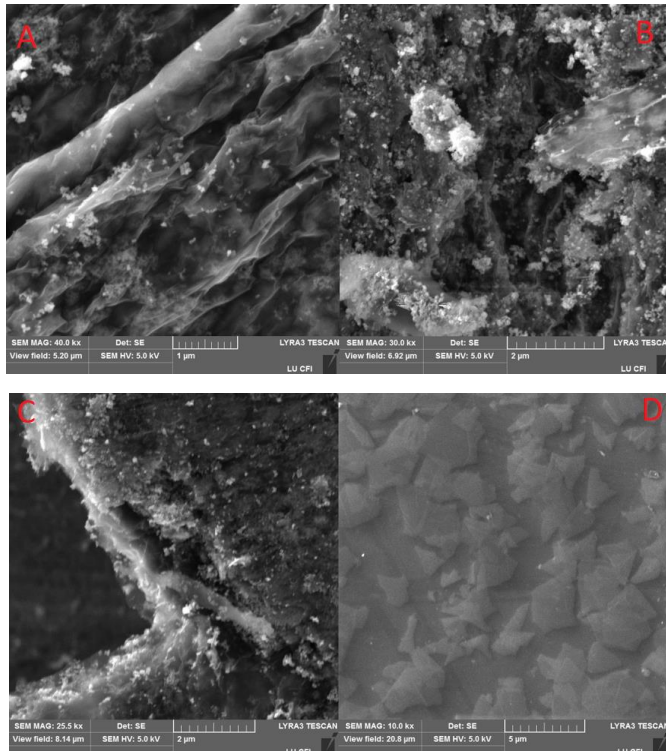


4.5 att.  $\text{Fe}_2\text{O}_3/\text{rGO}$  un  $\text{TiO}_2/\text{rGO}$  elektrodu materiāla lādiņa pārneses pretestība (A, C) un Varburga impedance (B, D) kā funkcija no baterijas pusšūnas sprieguma.

Aplūkojot iegūtos grafikus, tika konstatēts, ka, jo vairāk tiek izlādēta bateriju pusšūna un pētāmais elektrods tiek piesātināts ar litija joniem, jo vairāk samazinās lādiņa pārneses ( $R_{ct}$ ) un litija difūzijas pretestība. Novērotā eksponentiālā sakarība eventuāli rada iespēju izstrādāt metodi, kurā LJB uzlādes stāvoklis, tiktū novērtēts pamatojoties uz  $R_{ct}$  un Varburga impedances vērtību.  $\text{Fe}_2\text{O}_3/\text{rGO}$  un  $\text{TiO}_2/\text{rGO}$  elektrodu materiāla Varburga impedance pieaug (skat 4.5 att. B, D), palielinoties bateriju pusšūnas spriegumam. Aprēķinātie litija difūzijas koeficienti samazinās pieaugot spriegumam, jo ir apgriezti proporcionāli Varburga impedances vērtībām. Varburga impedances jeb difūzijas pretestības maksimālās vērtības korelē ar difūzijas koeficiente minimumu. Litija difūzijas koeficients, kas noteikts ar EIS metodi uzrāda vērtības  $D(\text{Fe}_2\text{O}_3/\text{rGO})=1 \cdot 10^{-16} \text{ cm}^2/\text{s}$ , bet  $D(\text{TiO}_2/\text{rGO})=5 \cdot 10^{-16} \text{ cm}^2/\text{s}$  [37-38]. Litija difūzijas koeficientu vērtības, kas noteiktas ar CV un EIS metodēm atšķiras pat par vairākām kārtām, kam cēlonis vēl tiek pētīts, bet ar abām metodēm noteikto difūzijas koeficientu atšķirību novērojuši arī citi autori [39].

## 4.2 Dažāda kvantitatīvā sastāva dzelzs oksīda un titāna dioksīda elektrodu kompozītmateriālu pētījumi

Izmantojot analītiskos svarus un virsmas profilometriju, tika noteiktas iegūto FT11, FT21 un FT31 nanokompozīta kārtiņu masas un biezumi, kuru intervāls attiecīgi no  $0.55 - 0.93 \pm 0.01$  mg, bet biezumi no  $3.8 - 6.1 \pm 0.1$   $\mu\text{m}$ . Analizējot iegūtos SEM attēlus, tika novērota reducēta grafēna oksīda matrica, kurai piesaistījušās  $\text{Fe}_2\text{O}_3$  un  $\text{TiO}_2$  nanodaļīnas un to aglomerāti. (skat. 4.6 att. A). Uz nanokompozīta virsmas konstatēta atsevišķa rGO pārsla, kas noklāta ar  $\text{Fe}_2\text{O}_3$  un  $\text{TiO}_2$  nanodaļīnām (skat. 4.6 att. B). Tas liecina par nanodaļīnu augsto adhēzijas spēju. Reducēta grafēna oksīda pārslas nanokompozīta materiāla struktūrā pilda stabilizatora funkciju, piesaistot nanodaļīnas uz virsmas vai arī iekļaujot tās rGO slānainajā struktūrā. Iegūtais materiāls ir mehāniski noturīgs un nodrošina  $\text{Fe}_2\text{O}_3$  kristāliskās struktūras saglabāšanos elektroda elektrokīmiskās ciklēšanas laikā [40].

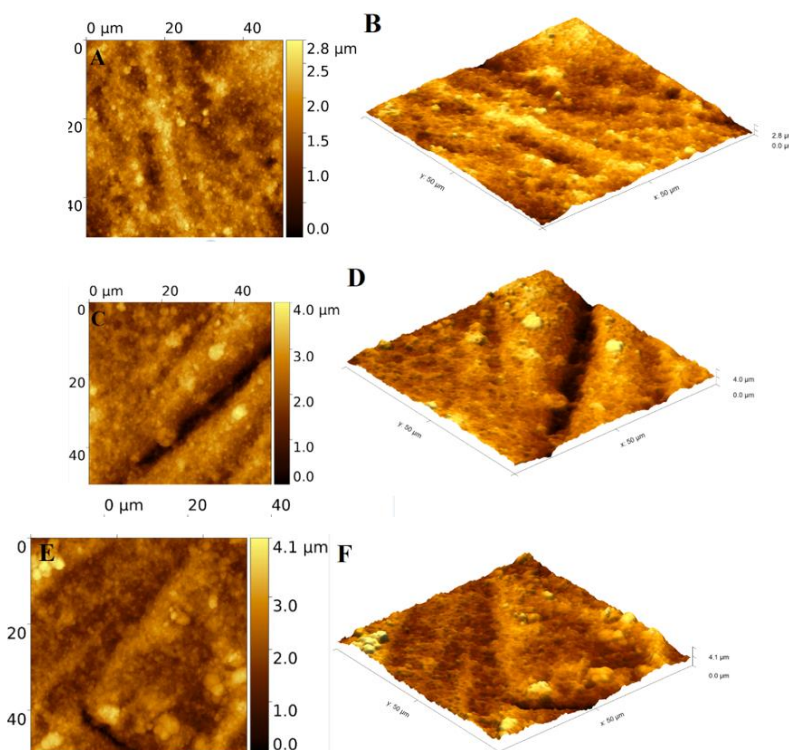


4.6 att. Skenējošas elektronu mikroskopijas attēli: A - FT11, B - FT21, C - FT31 un D - grafēna oksīda pārslas.

Turpinot SEM attēlu analīzi, konstatēts, ka, izgulsnējot grafēna oksīda pārslas, iegūst daudzslāņu grafēna oksīda materiāla kārtiņas (skat. 4.6 att. C), ko apliecinā arī Ramana spektroskopijas rezultāti. Grafēna oksīda vidējie pārslu izmēri ir  $3114 \mu\text{m}$  (garums) un  $1554 \mu\text{m}$  (platumis), (skat. 4.6 att. D). Pētāmās kārtiņas tika novērtētas kā nehomogēnas un graudainas, kā arī konstatēti daļiņu aglomerāti, ko apliecinā arī atomspēku mikroskopijas rezultāti. Apkopojoj novērojumus, secināts, ka elektroforētiskās izgulsnēšanas procesā iegūstamā materiāla kārtiņa uzklājas uz tērauda pamatnes gan no atsevišķām  $\text{Fe}_2\text{O}_3$  un  $\text{TiO}_2$  nanodaļīnām, gan to aglomerātiem. Konstatēts, ka FT11, FT21 un FT31 materiāliem noteiktais daļiņu vidējais diametrs ir līdzīgs robežas no  $98-120$  nm, tomēr novērota neliela izmēra

pieauguma tendencē, palielinoties  $\text{Fe}_2\text{O}_3$  daudzumam nanokompozītā.

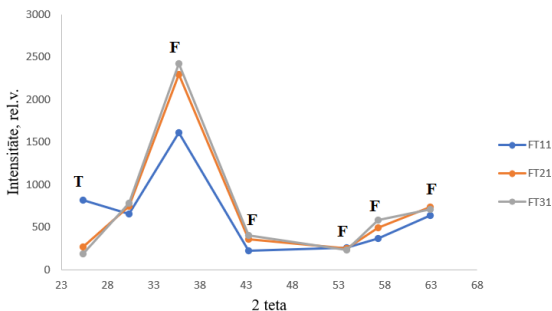
Veicot pētāmo materiālu kārtīnu aktīvās virsmas laukumu un porainības novērtējumu, tika konstatēts, ka ka, palielinoties  $\text{Fe}_2\text{O}_3$  daudzumam pētāmajās kārtīnās, aktīvās virsmas laukums un poru tilpums samazinās. Vidējais nanokompozītu kārtīnu poru diametrs ir  $\approx 12.5$  nm. Lai novērtētu iegūto FT11, FT21 un FT31 nanokompozīta kārtīnu reljefu, tika veikta kārtīnu virsmas analīze (skat. 4.7 att.), izmantojot atomspēku mikroskopiju.



4.7 att. Atomspēku mikroskopijas rezultāti A, B - FT11, C, D – FT21, E, F – FT31.

Analizējot iegūtos attēlus, pētāmajām nanokompozītu kārtīnām tika novēroti  $\text{Fe}_2\text{O}_3$  un  $\text{TiO}_2$  nanodaļu aglomerāti, ar diametru 2-3  $\mu\text{m}$  robežās (skat 4.7 att. B, D, F), kas sakrīt ar SEM metodē iegūtajiem rezultātiem. Sharp graudiem novērojamas reljefa izmaiņas – galvenokārt padziļinājumi un paaugstinājumi, taču plāsas netika konstatētas, kas liecina par kārtīnas noturību karsēšanas procesā. Vienu aglomerātu ietvaros augstuma izmaiņas ir robežas no 1-3  $\mu\text{m}$ . Apkopojoj rezultātus, tika secināts, ka reljefs būtiski palielina reālo kārtīnas virsmu - visām pētāmajām kārtīnām uz virsmas novērojami nanodaļu aglomerāti.

Analizējot rentgenstaru difrakcijas ainas konstatēts, ka iegūtās nanokompozīta kārtīnas sastāv no magemīta fāzes  $\text{Fe}_2\text{O}_3$  (apzīmēts ar F) un anatāza fāzes  $\text{TiO}_2$  (apzīmēts ar T) ar nelielu rutīla fāzes  $\text{TiO}_2$  piejaukumu [164], kas apliecinā, ka, pirmo reizi, izmantojot līdzstrāvas elektroforētisko izgulsnēšanu, tika veiksmīgi iegūtas  $\text{Fe}_2\text{O}_3$  un  $\text{TiO}_2$  kompozītmateriāla kārtīnas. Lai noskaidrotu, vai iegūtajās nanokompozīta kārtīnās ir dažāds  $\text{Fe}_2\text{O}_3$  daudzums, tika konstruēts grafiks, kurā attēlotā katras raksturīgā dzelzs oksīda maksimuma intensitātes skaitliskā vērtība kā funkcija no rentgenstaru difrakcijas leņķa [41-42] (skat. 4.8 att.).



4.8 att. FT11, FT21 un FT31 nanokompozītu rentgenstaru difraktoogrammu intensitāšu saīdzinājums.

Izmantojot atvērtā koda programmu (*Profex BGMN 5.2.0*), veikta nanokompozītu fāzu daudzuma novērtēšana izmantojot Ritvelda metodi (skat. 4.1 tab.). Analizējot kārtīnu sastāvu, tika konstatēts, ka nanokompozīti FT21 un FT31 atbilst tām molārajām vielu attiecībām, kas tika definētas sagatavojot suspensijas materiālu elektroforētiskai izgulsnēšanai. Nelela novirze no sākotnējā daudzuma tika konstatēta nanokompozītam FT11, kur aprēķinātie svara procenti ir 55:45 wt.%, kaut gan suspensijā sagatavotā svara procentu attiecība bija 60:30 wt.%. Elektroforētiski izgulsnētajā FT11 nanokompozīta kārtīnā konstatēta novirze no sākotnējā uzstādījuma ļauj secināt, ka suspensijā, kurās ir paaugstināta  $\text{TiO}_2$  nanodaļņu koncentrācija, to uznēšanas process norisinās straujāk, palielinot  $\text{TiO}_2$  daudzumu izgulsnētajā kārtīnā.

Apkopojoj Ramana spektroskopijas rezultātus, secināts, ka grafēna oksīda reducēšanas process noritējis veiksmīgi un pieaugusi reducēta grafēna oksīda kristalizācija, ko apliecinā aprēķinātie rGO kristalīti izmēri.  $I_D$  un  $I_G$  joslu intensitāšu attiecība, kas raksturo oglekļa defektu un sakārtotās struktūras klātbūtni materiālā, pēc grafēna oksīda reducēšanas samazinājusies par 8 %, kas apliecinā veiksmīgu reducēšanās procesa norisi [43].

Lai iegūtu informāciju par nanokompozītu kārtīnu sastāvu un novērtētu ķīmisko elementu daudzumu, tika veikta rentgenstaru mikrospektrālā analīze (EDX) un rentgenstaru fotoelektronu spektroskopija (XPS). Apkopojoj iegūtos rezultātus, tika konstatēts, ka pētāmie nanokompozīta materiāli sastāv no Fe, Ti un O, kas ietilpst to materiālu sastāvā, kas tika izmantoti sākotnējās suspensijas pagatavošanai. ķīmisko elementu kvantitatīvā analīze uzrādīja pakāpenisku Fe daudzuma palielināšanos iegūtajās kārtīnās, palielinoties tā daudzumam sagatavotajās suspensijās.

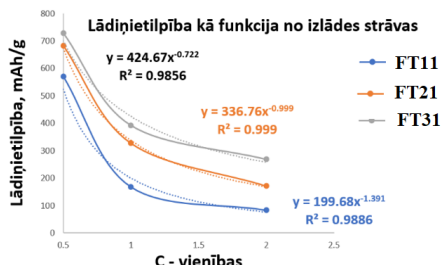
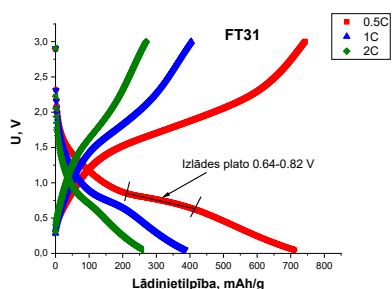
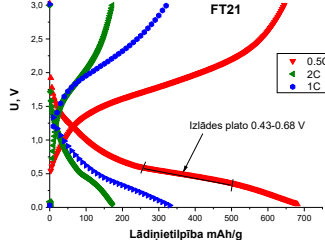
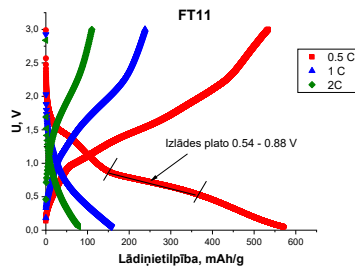
Tika konstatēts ka līdz ar  $\text{Fe}_2\text{O}_3$  nanodaļņu koncentrācijas palielināšanos suspensijā pieaug arī EPD procesā izgulsnēto  $\text{TiO}_2$  nanodaļņu daudzums. Analizējot EDX spektrus, secināts, ka nomērītie Fe intensitāšu maksimumi novietojumi uz x-ass atbilst dzelzs oksīda magemīta fāzei [44], bet Ti intensitāšu maksimumi atbilst titāna oksīda Anatāza fāzei [46]. Fe, Ti un O sadalījums visos pētāmajos materiālos ir relatīvi homogēns, kas apliecinā vienmērīgu materiāla izgulsnēšanos EPD laikā [45]. Nanokompozītā FT31 tika konstatēti vairāki apgabali, kuros Ti koncentrācija ir palielināta, kas varētu liecināt par paaugstinātu  $\text{TiO}_2$  nanodaļņu aglomerāciju sagatavotajā suspensijā vai arī elektroforētiskās izgulsnēšanas laikā. Šo aglomerātu klātbūtni izgulsnētajā kārtīnā izskaidro palielināto Ti daudzumu FT31 nanokompozīta materiālā.

Veicot XPS spektru analīzi, tika konstatēta tipiskie Fe, Ti, C un O atomu enerģētiskajiem pamatlīmeņiem raksturīgie maksimumi. Nomērīto XPS spektru maksimumu abscisu ass vērtības pētāmajiem materiāliem ir līdzīgas, bet raksturīgie laukumi zem līknes ir atšķirīgi. Pamatojoties uz iepriekš minēto secināts, ka pētāmie nanokompozītu materiāli sastāv no vieniem un tiem pašiem ķīmiskajiem elementiem, kuri daudzums katrā kompozītmateriālā ir atšķirīgs. ķīmisko elementu kvantitatīvā analīze uzrādīja pakāpenisku Fe daudzuma pieaugumu un Ti daudzuma samazināšanos pētāmajos materiālos proporcionāli sagatavotu suspensiju sastāvam. Augstākā titāna svara procentu skaitliskā vērtība tika novērota nanokompozītā FT11, kas saskārn ar rentgenstaru difrakcijas analīzē izmantotās Ritvelda metodes aprēķinu. Salīdzinot kvantitatīvos aprēķinus, kas veikti ar XPS, EDX un XRD, tika konstatēts, ka visas izmantotās materiālu pētīšanas metodes uzrāda Fe daudzuma

palielināšanos, pieaugot dzelzs molārajai daļai suspensijā (**skat. 4.1 tab.**). Minētais novērojums ļauj secināt, ka ar EPD metodi var pielāgot pētāmā materiāla sastāvu, sagatavojot suspensijas ar noteiktām materiālu molārajām attiecībām. *4.1 tabula. FT11, FT21, FT31 nanokompozīta sastāva kvantitatīvais novērtējums*

Nano - kompozīta materiāls	Vidējais kristalītu izmērs, nm	Ķīmisko elementu daudzums noteikts ar EDX, wt%				Ķīmisko elementu daudzums noteikts ar XPS, wt%				Ar Rītvelda metodi no XRD datiem aprēķinātie materiāla fāzu daudzumi, wt%		
		Fe	Ti	O	Fe	Ti	O	C	Fe <sub>2</sub> O <sub>3</sub> , (magemīta fāze)	TiO <sub>2</sub> , (anatāza fāze)	TiO <sub>2</sub> , (rutila fāze)	
FT11	37 ± 2	67	4	29	62	30	6	2	55±0.01	35±0.01	10±0.01	
FT21	24 ± 2	72	5	23	71	23	3	3	79±0.02	14±0.01	7±0.02	
FT31	32 ± 2	76	7	17	80	13	2	5	88±0.02	9±0.01	3±0.01	

Lai novērtētu FT11, FT21 un FT31 nanokompozītu materiālu pielietojumu litija jonu baterijās tika saliktas bateriju pusšūnas un veikti elektrokīmiskās veikspējas mērījumi. Veicot galvanostatisko uzlādes - izlādes līkņu analīzi (**skat. 4.9 att.**), konstatēts, ka starp pētāmajiem elektroda materiāliem augstākā lādinietilpība ir FT31 nanokompozītam - 729 mAh/g jeb 68 % no teorētiskās lādinietilpības, kas ir par 17 % vairāk kā Fe<sub>2</sub>O<sub>3</sub>/rGO (604 mAhg<sup>-1</sup>). Dažas pētnieku grupas ziņo par Fe<sub>2</sub>O<sub>3</sub> un TiO<sub>2</sub> nanokompozīta elektroda uzlabotu lādinietilpību saīdzinājumā ar katra atsevišķa pārejas metāla oksīda elektroda materiāliem, kas liecina, ka Fe<sub>2</sub>O<sub>3</sub> un TiO<sub>2</sub> nanodalīju elektrokīmiskā aktivitāte efektīvi mijiedarbojas, radot elektroda materiālu ar augstāku gravimetrisko lādinietilpību [47-51].

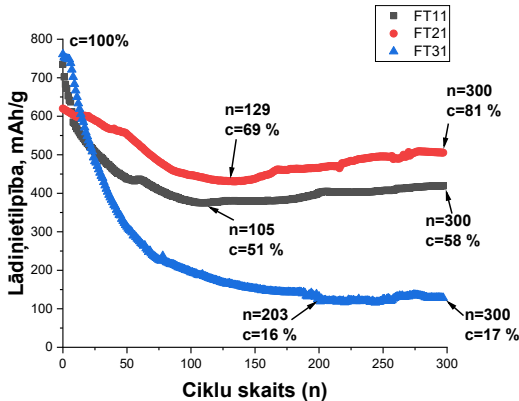


4.9 att. FT11, FT21 un FT31 nanokompozīta elektrodu galvanostatiskās uzlādes - izlādes līknes uzņemtas pie strāvas stiprumiem 0.5C, 1C un 2C un lādinietilpība kā funkcija no izlādes strāvas stipruma.

Pie strāvas vērtības 0.5C, uzlādes – izlādes līknes uzrāda nelielus, kvazi - lineārus apgabalus sprieguma intervalā no 0.4 līdz 0.8 V, kas atbilst  $\text{Fe}_2\text{O}_3$  pakāpeniskam reducēšanās procesam, kurā  $\text{Fe}^{3+}$  mainās oksidācijas pakāpe uz  $\text{Fe}^0$ . Šajā procesā kā blakusprodukts veidojas  $\text{Li}_2\text{O}$  un formējas elektroda – elektrolīta robežvīrsmas (SEI) slānis [47]. Nanokompozītu elektrodu materiālu FT11 lādinietilpības ir attiecīgi 571 mAh/g jeb 77 % no teorētiskās lādinietilpības, FT21 ir 683 mAh/g jeb 88 % no teorētiskās lādinietilpības.

FT21 nanokompozīta elektroda materiāls uzrādīja lādinietilpības vērtību, kas ir vistuvāk tā teorētiskajai lādinietilpībai. No minētā novērojuma var secināt, ka FT21 elektroda materiālam raksturīga augstākā litija injekcijas spēja un elektroķīmiskā aktivitāte. Veicot FT11, FT21 un FT31 elektroda materiālu ātrumspējas testus, konstatēts, ka palielinoties bateriju pussūnai pielikajam strāvas stiprumam, visu pētāmo elektroda materiālu lādinietilpība pakāpeniski samazinās. Tā, piemēram, strāvas stipruma vērtībai pieaugot no 0.5C līdz 2C, pētāmo elektroda materiālu FT11, FT21 un FT31 attiecīgās gravimetriskās lādinietilpības samazinājās par 85 %, 77 % un 64 %. No visiem elektrodu materiāliem augstāko toleranci pret strāvas stipruma pieaugumu uzrāda FT31 nanokompozīta elektrods.

Lai novērtētu pētāmo elektroda materiālu spēju saglabāt lādinietilpību vairākkārtēju uzlādes - izlādes ciklu laikā konstruēts grafiks – izlādes lādinietilpība kā funkcija no uzlādes – izlādes ciklu skaita (skat. 4.10 att.)



4.10 att. FT11, FT21 un FT31 nanokompozīta elektrodu lādinietilpība kā funkcija no izlādes ciklu skaita.

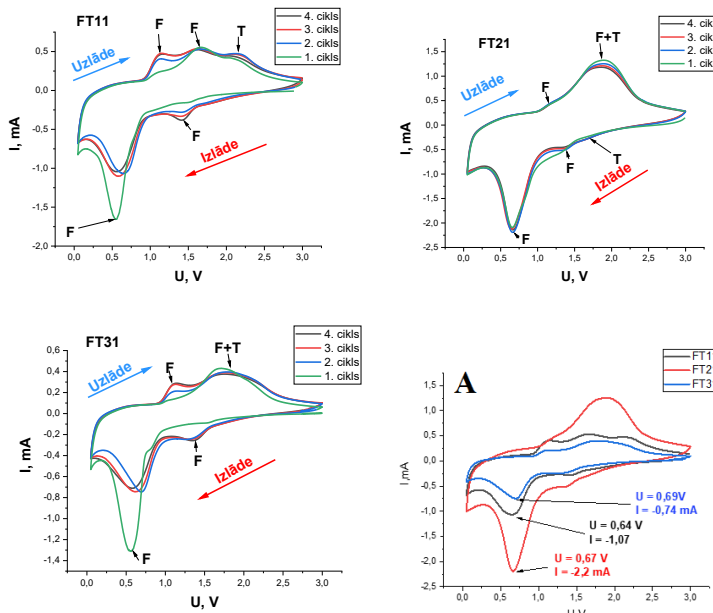
No ciklējamības līknēm ir redzams, ka visiem pētāmajiem elektroda materiāliem sākotnējo uzlādes – izlādes ciklu laikā novērojama lādinietilpības samazināšanās, kas ir saistīta ar  $\text{Fe}_2\text{O}_3$  daļu pulverizāciju litija injekcijas - ekstrakcijas laikā, izraisot elektriskā kontakta zudumu starp elektroda materiāla daļiņām un tērauda strāvas kolektoru. Pulverizācija ir elektroda materiāla daļu homogēnās struktūras zaudēšana stiepes un/vai spiedes rezultātā, kurās cēlonis ir atkārtota daļiņu tilpuma izmaiņa litija injekcijas un ekstrakcijas procesā [66]. Saīdzinot iegūtās ciklējamības līknes, tika konstatēts, ka vislēnākā lādinietilpības samazināšanās sākotnējo uzlādes – izlādes ciklu laikā novērojama FT11 un FT21 elektroda materiāliem. Uzlabotā elektrokīmiskā veiktspēja, iespējams, saistīta ar palielināto  $\text{TiO}_2$  daudzumu elektroda materiālā. (skat. 4.1 tab.). Titāna dioksīda nanodaļīnas kavē  $\text{Fe}_2\text{O}_3$  daļu pulverizāciju, saglabājot to struktūras integritāti, ko var novērot nanokompozītu FT11 un FT21 ciklējamības līkņu stabilizācijā pēc simts uzlādes – izlādes cikliem. Augstākā lādinietilpības saglabāšanās novērota nanokompozīta elektroda materiālam FT21, kas pēc 129 uzlādes – izlādes cikliem saglabā 69 % no sākotnējās lādinietilpības vērtības. Turpinoties ciklēšanas procesam, FT21 elektroda materiāla gravimetriskā lādinietilpība pieaug un iegūst vērtību 508 mAh/g jeb 81 % no sākotnējās lādinietilpības.

Lādinietilpības palielināšanās elektroda materiāla elektrokīmiskās ciklēšanas laikā nav raksturīga tikai nanoizmēra  $\text{Fe}_2\text{O}_3$  kompozītiem, bet tika novērota arī citiem konversijas tipa 3D pārejas metālu oksidiem, kā piemēram  $\text{Co}_2\text{O}_3$  un  $\text{MnO}_2$  [52]. Lādinietilpības palielināšanās skaidrojumam tika izvīrīti vairāki mehānismi:

- 1) zema sprieguma intervalā 0 - 1.9 V, elektrolītam reducējoties, apkārt metāla nanodaļiņām veidojas organiska polimēra - ūlejeveida kārtīja, kurā ievietojas litija joni, nodrošinot papildus lādinietilpību līdz pat 800 uzlādes – izlādes cikliem [53-54],
- 2) metāla nanodaļīnu un elektrolīta robežvirsmas telpā uzkrājas nekompensēti litija joni, ko kompense elektroni no nanodaļīnu virsmas [55-57],
- 3) ciklēšanas laikā elektroda materiālā veidojas arvien jaunas litija injekcijas “vietas”, t.i. palielinās elektrokīmiski aktīvie apgabali, kas rezultātā rada papildus elektroda materiāla lādinietilpību [6; 58],
- 4) Fe nanodaļīnas, kas veidojas kā neatgriezenisko reakciju blakusprodukts un lokalizējas  $\text{Fe}_2\text{O}_3/\text{TiO}_2$  graudu robežvirsmā, uzlabo aktīvā materiāla elektrisko vadītspēju un atvieglo oksidēšanās - reducēšanās reakciju norisi, kas rezultātā rada papildus elektroda materiāla lādinietilpību [6; 59-61].

Papildu lādinietilpības rašanās, kas tika novērota FT11 un FT21 nanokompozītiem, iespējams, saistīta ar uz elektroda materiāla virsmas notiekošajiem procesiem. Uz virsmas notiekošos lādiņa uzglabāšanu iedala faradeiskos (pseudokapacitāte) un nefaradeiskos (elektriskā dubultslāņa kapacitāte) procesos. Pseudokapacitatīvais lādiņa uzglabāšanas mehānisms vairāk attiecas uz lādiņa uzglabāšanu SEI slānī un metāla nanodaļīnu/ $\text{Li}_2\text{O}$  robežvirsmā. Elektriskā dubultslāņa energijas uzkrāšanas mehānisms attiecas uz statisku elektriskā lādiņa uzkrāšanu materiālos ar palielinātu aktīvo virsmas laukumu [62].

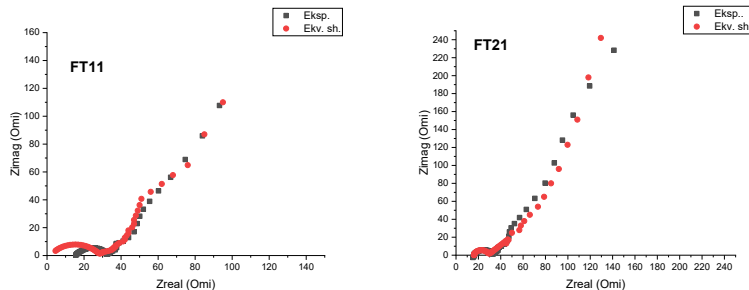
Lai iegūtu informāciju par FT11, FT21 un FT31 elektrodu materiālu litija jonu injekcijas - ekstrakcijas maksimumiem, materiāla elektroķīmisko aktivitāti un aprēķinātu litija jonu difuzijas koeficientu, tika veikta cikliskā voltamperometrija (CV), (skat. 4.11 att.).



4.11 att. FT11, FT21 un FT31 nanokompozītu elektrodu pirmo četru ciklu cikliskās voltamogrammas pie sprieguma izvērses ātruma  $1 \text{ mVs}^{-1}$ . F –  $\text{Fe}_2\text{O}_3$  un T –  $\text{TiO}_2$  materiālam raksturīgie strāvas maksimumi. A – FT11, FT21 un FT31 elektroda materiāla pirmsais CV cikls.

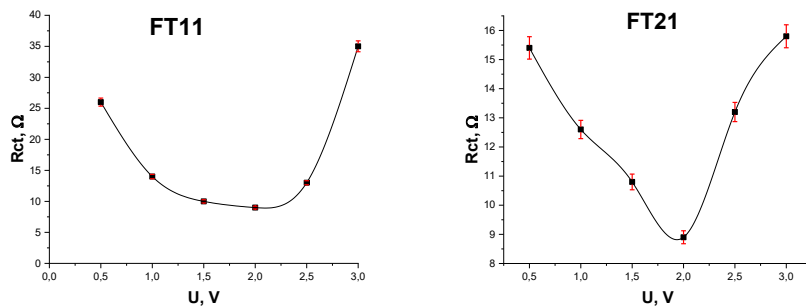
Sālīdzinot iegūtās CV liknes, tika konstatēts, ka nanokompozītiem FT11 un FT31 izlādes ciklā, katodiskās strāvas maksimuma intensitāte pie  $\approx 0.6 \text{ V}$  ir augstākā pirmajā ciklā. Nākamajos ciklos minētā strāvas maksimuma intensitāte samazinās, kas liecina par neatgriezeniskām ķīmiskām reakcijām pētāmajā elektroda materiālā un daļēju sākotnējās lādiņietilpības zudumu, kas norisinās elektroda elektroķīmiskās stabilizācijas laikā un ir saistīts ar SEI slāņa formēšanās procesu [64-65]. Konstatēts, ka FT21 elektroda materiāls uzrāda lielāko litija injekcijas strāvas maksimumu ( $I=2.2 \text{ mA}$ ) (skat. 4.11 att. A) un labāko reakcijas apgrīzeņiskumu, kas apliecina elektroda materiāla augsto elektroķīmisko aktivitāti un litija injekcijas spēju. Izmantojot ar CV metodi iegūtos datus, tika aprēķināti litija difuzijas koeficienti. Apkopotos rezultātus, secināts, ka lielāko katodiskās un anodiskās strāvas litija difuzijas koeficientu uzrāda FT11 un FT21 nanokompozīta elektroda materiāls. Analizējot iegūtos ciklējamības, elektroķīmiskās aktivitātes un litija difuzijas koeficienta rezultātus, turpmākiem pētījumiem tika izvēlēts padzināti analizēt FT11 un FT21 nanokompozīta elektroda materiālus.

Analizējot rezultātus, kas iegūti pielietojot elektroķīmiskās impedances spektroskopiju (EIS), secināts, ka mazākā lādiņa pārneses pretestība ( $R_{ct}$ ) pie baterijas pusšūnas sprieguma  $U = 0.5 \text{ V}$  novērota FT21 elektrodam ( $R_{ct}=15.4 \Omega$ ), kas ir par 40 % mazāka kā FT11 elektroda materiālam. Samazinātā  $R_{ct}$  vērtība norāda uz efektīvu lādiņa pārnesi un līdz ar to augstāku FT21 elektroda materiāla ātrumspēju [212], ko apliecina arī iepriekš veiktie FT21 ātrumspejas mērījumi. Nanokompozīta elektrodam FT21 tika novērota laba eksperimentālā EIS spektra sakritība ar aprēķināto (skat. 4.12 att.).



4.12 att. FT11 un FT21 elektrodu eksperimentālie un aprēķinātie EIS spektri pie  $U = 0.5$  V.

Lai analizētu lādiņa pārneses pretestību kā funkciju no baterijas pusšūnas uzlādes sprieguma, tika konstruēti grafiki  $R_{ct} = f(U)$ , (skat. 4.13 att.).



4.13 att. FT11 un FT21 elektrodu lādiņa pārneses pretestība kā funkcija no baterijas pusšūnas uzlādes stāvokļa.

Veicot pētamo elektroda materiālu  $R_{ct} = f(U)$  grafiku analīzi, tika konstatēta būtiska  $R_{ct}$  atkarība no bateriju pusšūnas uzlādes stāvokļa. Lādiņa pārneses pretestības vērtība samazinās, bateriju pusšūnai uzlādējoties līdz aptuveni 60 % jeb  $\approx 2$  V un tad atkal palielinās, tuvojoties un pat pārsniedzot  $R_{ct}$  sākotnējo vērtību pie 100 % uzlādētās bateriju pusšūnas. Ir vērts piebilst, ka sprieguma vērtība 2 V ir vienāda ar baterijas pusšūnas atvērtās kēdes potenciālu jeb līdzsvara spriegumu. Šāda lādiņa pārneses pretestības atkarība no baterijas pusšūnas uzlādes stāvokļa sakrit arī ar citu autoru novēroto [63-64]. Litija difuzijas koeficients, kas noteikts ar EIS metodi uzrāda vērtības  $D(FT11) = 7 \cdot 10^{-16} \text{ cm}^2/\text{s}$ , bet  $D(FT21) = 9 \cdot 10^{-16} \text{ cm}^2/\text{s}$ . Lai veiktu aprēķināto difuzijas koeficientu salīdzināšanu visiem iegūtajiem elektrodu materiāliem, tika izveidota tabula 4.2.

4.2 tabula. Ar EIS un CV metodēm noteiktie litija difuzijas koeficienti.

	Cikliskā voltamperometrija, $D, \text{cm}^2/\text{s}$	Elektroķīmiskā impendances spektroskopija, $D, \text{cm}^2/\text{s} \cdot 10^{-16}$
$\text{Fe}_2\text{O}_3/\text{rGO}$	$1.6 \cdot 10^{-13}$	1
$\text{TiO}_2/\text{rGO}$	$1 \cdot 10^{-14}$	5
FT11	$6 \cdot 10^{-13}$	7
FT21	$1.2 \cdot 10^{-12}$	9

No tabulas redzams, ka ar abām metodēm iegūtie litija difuzijas koeficienti ir augstāki  $\text{Fe}_2\text{O}_3$  un  $\text{TiO}_2$

nanokompozīta materiāliem, kas norāda uz abu pārejas metālu oksīdu apvienošanas pozitīvo ietekmi uz litija difūziju elektroda materiālā.

## SECINĀJUMI

Izpildot izvirzītos darba uzdevumus ir sasniegts darba mērkis - pielietojot elektroforētisko izgulsnēšanu, iegūtas  $\text{Fe}_2\text{O}_3$ ,  $\text{TiO}_2$  un reducēta grafēna oksīda kompozītmateriāla kārtīnas. Izpētītas to fizikālās un elektrokīmiskās īpašības atkarībā no suspensijas sastāva un novērtēta elektrodmateriāla pielietojamība litija jonu baterijās. Atbilstoši darba nodalām, kurās rezultāti apskatīti, ir 2 galvenie secinājumi.

1. Ar elektroforētiskās izgulsnēšanas metodi no  $\text{Fe}_2\text{O}_3$ ,  $\text{TiO}_2$  un reducēta grafēna oksīda elektrovadošas piedevas iespējams veiksmīgi iegūt mehāniski noturīgas un porainas divkomponentu bateriju elektrodu materiālu kārtīnas, kurās pārejas metālu oksīdu nanodalīņas un to aglomerāti veiksmīgi apvienojas ar reducētu grafēna oksīdu -  $\text{Fe}_2\text{O}_3/\text{rGO}$  un  $\text{TiO}_2/\text{rGO}$ . Neskatoties uz augsto dzelzs oksīda teorētisko lādinietilpību (1006 mAh/g), praktiski sasniegta vērtība ir 604 mAh/g, kas liek meklēt jaunas pieejas, kā paaugstināt dzelzs oksīda eksperimentālo lādinietilpību un stabilitāti. No cikliskās voltamperometrijas rezultātiem noteikts, ka augstākais litija difūzijas koeficients ir  $\text{Fe}_2\text{O}_3/\text{rGO}$  elektroda materiālam ( $1.6 \cdot 10^{-13} \text{ cm}^2/\text{s}$ ) un secināts, ka, pieaugot ciklu skaitam, palielinās cauri elektrodam plūstošā strāva.  $\text{TiO}_2/\text{rGO}$  elektroda materiāls uzrādīja strauju lādinietilpības samazināšanos, pieaugot izlādes strāvai, bet augstu stabilitāti ciklējamības mērījumos, kas paver iespējas tā izmantošanai augstas lādinietilpības elektrodu materiālu ciklēšanas rādītāju uzlabošanā.
2. Ar elektroforētiskās izgulsnēšanas metodi pirmo reizi iegūtas trīskomponentu  $\text{Fe}_2\text{O}_3/\text{TiO}_2/\text{rGO}$  nanokompozīta kārtīnas ar dažādām pārejas metālu oksīdu masas daļām. Konstatēts, ka dzelzs oksīda un titāna dioksīda masas daļa iegūtajās kārtīnās ir līdzīga masas daļai sagatavotajās suspensijās, ko apliecinā rentgenstaru difrakcijas analīze un Ritvelda metode materiāla fāžu daudzuma novērtēšanai. Konstatēts, ka nanokompozītam FT21 ir augstākais litija injekcijas strāvas maksimums un lielākais litija difūzijas koeficients ( $1.2 \cdot 10^{-12} \text{ cm}^2/\text{s}$ ) kā arī augsts reakcijas apgrīzeniskums, kas saistīts ar materiāla augsto elektrokīmisko aktivitāti. Nanokompozītiem FT11 un FT21 tika novērota lādinietilpības palielināšanās elektroda materiāla elektrokīmiskās ciklēšanas laikā, kas ir saistīta ar faradeisko un nefaradeisko elektriskā lādiņa uzglabāšanas mehānismu. Piemēram, FT21 gravimetriskā lādinietilpība ciklēšanas laikā pieaug no 442 mAh/g līdz 508 mAh/g jeb 81 % no sākotnējās lādinietilpības. Saīdzinot ar katra atsevišķa pārejas metāla oksīda elektroda materiālu,  $\text{Fe}_2\text{O}_3$  un  $\text{TiO}_2$  nanokompozītam ir augstāks litija difūzijas koeficients, kas apliecinā abu izmantoto materiālu apvienošanas pozitīvo ietekmi uz litija difūzijas procesiem. Nanokompozīta FT21 elektroda materiāla gravimetriskā lādinietilpība pie izlādes strāvas 0.5 C ir 683 mAh/g, kas ir 88 % no tā teorētiski aprēķinātās lādinietilpības. Pamatojoties uz ātrumspējas, ciklējamības un lādinietilpības mērījumu rezultātiem secināts, ka nanokompozīts ar  $\text{Fe}_2\text{O}_3$  un  $\text{TiO}_2$  molārajām attiecībām 2:1 (FT21) ir perspektīvs augstas veiktspējas elektroda materiāls litija jonu baterijām.

## AIZSTĀVAMĀS TĒZES

Litija jonu bateriju anoda materiāla optimizēšanai ir izstrādāts elektronus un litija jonus vadošs plānās kārtīgas dzelzs (III) oksīda/titāna dioksīda/grafēna oksīda kompozītmateriāls un videi draudzīga un ekonomiski izdevīga tā iegūšanas tehnoloģija.

- Elektroforētiskās izgulsnēšanas metode var tikt sekmīgi izmantota  $\text{Fe}_2\text{O}_3$ ,  $\text{TiO}_2$  un grafēna oksīda nanokompozītu kārtīgu iegūšanai no komerciāli pieejamiem materiāliem. Iegūtās kārtīgas ir porainas un mehāniski stabilas bez saistvielām.
- Divkomponentu dzelzs oksīda  $\text{Fe}_2\text{O}_3/\text{reducētā grafēna oksīda (rGO)}$  materiāls kā bateriju elektrods uzrāda lielāku lādiņietilpību, savukārt titāna dioksīda  $\text{TiO}_2/\text{rGO}$  elektrods – augstāku stabilitāti uzlādes - izlādes ciklu laikā.  $\text{Fe}_2\text{O}_3/\text{rGO}$  augstā lādiņietilpība varētu būt saistīta gan ar dzelzs oksīda litizācijas procesam raksturīgo konversijas tipa reakciju, kas ir daudzelektronu process, kura laikā uz vienu molu  $\text{Fe}_2\text{O}_3$  tiek pārnesti 6 elektroni un 6 litija joni, gan ar pseudokapacitatīvo lādiņa uzglabāšanas mehānismu, kas raksturīgs dzelzs oksīda un oglēkļa heterostruktūrām. Savukārt titāna dioksīda augstā stabilitāte saistīta ar  $\text{Li}^+$  un  $\text{Ti}^{3+}$  jonus rādiusu līdzīgajiem izmēriem, kā rezultātā litija interkalācijas procesam raksturīgas minimālas ( $\approx 4\%$ )  $\text{TiO}_2$  kristāliskās struktūras izmaiņas, saglabājot materiāla integritāti.
- Trīskomponentu  $\text{Fe}_2\text{O}_3/\text{TiO}_2/\text{rGO}$  elektroda elektrokīmiskās īpašības un līdz ar to baterijas veikspēju ir iespējams uzlabot variējot  $\text{Fe}_2\text{O}_3$  un  $\text{TiO}_2$  molārās attiecības suspensijā. Starp pētāmajiem materiāliem atrasts labākais elektroda materiāla sastāvs, ar  $\text{Fe}_2\text{O}_3$  un  $\text{TiO}_2$  molārajām attiecībām 2:1 (FT21), kas nodrošina gan augstu lādiņietilpību, gan stabilitāti daudzkārtējas uzlādes - izlādes procesa laikā.

## LITERATŪRA

- [1] M. Wakihara, O. Yamamoto, Lithium Ion Batteries, Fundamentals and Performance, WILEY-VCH, ISBN: 978-3-527-61198-0, November 2008, 261 Pages.
- [2] B. Scrosati, J. Garche, Lithium batteries: Status, prospects and future, Journal of Power Sources, Volume 195, Issue 9, 2010, Pages 2419-2430, ISSN 0378-7753.
- [3] C. G. Zosky, Handbook of Electrochemistry, Elsevier, 2007, ISBN-13: 978-0-444-51958-0.
- [4] F.G. Hone, N.A, Tegegne,D.M. Andoshe, Advanced Materials for Energy Storage Devices, Electrode Materials for Energy Storage and Conversion; CRC Press: Boca Raton, 2021.
- [5] Y. Zhong,Y. Ma,Q. Guo, et al., Controllable Synthesis of  $\text{TiO}_2@\text{Fe}_2\text{O}_3$  Core-Shell Nanotube Arrays with Double-Wall Coating as Superb Lithium-Ion Battery Anodes, Sci Rep 7, 40927, 2017.
- [6] J. Luo, et al., Rationally designed hierarchical  $\text{TiO}_2@\text{Fe}_2\text{O}_3$  hollow nanostructures for improved lithium ion storage. Adv. Energy Mater. 2013, 3, 737–743.
- [7] L. Besra, M. Liu, A review on fundamentals and applications of electrophoretic deposition (EPD), Progress in Materials Science, 52, Issue 1, 2007, Pages 1-61, ISSN 0079-6425.
- [8] G. Kucinskis, G. Bajars, J. Kleperis, Graphene in lithium ion battery cathode materials: A review, Journal of Power Sources, 240, 2013, Pages 66-79, ISSN 0378-7753,
- [9] H. Zhang, et al., Micro-structured  $\text{Si}@\text{Cu}_2\text{Si}@\text{C}$  ternary composite anodes for high performance Li-ion batteries, 2019, Ionics 25(10):4667–4673.
- [10] D. Linden, T. B. Reddy, Handbook of Batteries, 3rd Edition. McGraw-Hill, 2002. ISBN 0-07-135978-8.
- [11] H. Jung, M. Park, Y. G. Yoon, G. B. Kim, and S. K. Joo, Amorphous silicon anode for lithium-ion rechargeable batteries J. Power Sources, Seoul, vol. 115, pp. 346-351, April 2003.
- [12] W. Xu, S. S. S. Vegunta, J. C. Flake, Surface-modified silicon nanowire anodes for lithium-ion batteries, Journal of Power Sources, 196, Issue 20, 2011, Pages 8583-8589, ISSN 0378-7753.
- [13] M. Thakur, M. Isaacson, S. L. Sinsabaugh, M. S. Wong, S. L. Biswal, Gold-coated porous silicon films as anodes for lithium ion batteries, Journal of Power Sources, Volume 205, 2012, Pages 426-432, ISSN 0378-7753.
- [14] B. Fuchsbechler, C. Stangl, H. Kren, F. Uhlig, S. Koller, High capacity graphite–silicon composite anode material for lithium-ion batteries, Journal of Power Sources, Volume 196, Issue 5, 2011, Pages 2889-2892, ISSN 0378-7753.
- [15] P. M. Dziewoński, M. Grzeszczuk, Lithium ion intercalation in partially crystalline  $\text{TiO}_2$  electrodeposited on platinum from aqueous solution of titanium (IV) oxalate complexes, Journal of Power Sources, Volume 190, Issue 2, 2009, Pages 545-552, ISSN 0378-7753.
- [16] F. Wu, et al., A novel method to synthesize anatase  $\text{TiO}_2$  nanowires as an anode material for lithium-ion batteries, Journal of Alloys and Compounds, Volume 509, Issue 8, 2011, Pages 3711-3715, ISSN 0925-8388.

- [17] Y. Wang, et al., Facile Synthesis of Fe<sub>2</sub>O<sub>3</sub>-graphite Composite with Stable Electrochemical Performance as Anode Material for Lithium Ion Batteries, *Electrochimica Acta*, Volume 125, 2014, Pages 421-426, ISSN 0013-4686.
- [18] S.K. Yadav, J.W. Cho, Functionalized Graphene Nanoplatelets for Enhanced Mechanical and Thermal Properties of Polyurethane Nanocomposites, 2013, *Applied Surface Science*, 266, 360-367.
- [19] Y. Yuan, et al., Understanding materials challenges for rechargeable ion batteries within situ transmission electron microscopy. *Nat Commun* 8, 15806, 2017.
- [20] A. Eftekhari, Low voltage anode materials for lithium-ion batteries, *Energy Storage Materials*, 7, 2017, Pages 157-180, ISSN 2405-8297.
- [21] S.B. Chikkannanavar, D.M. Bernardi, L. Liu, A review of blended cathode materials for use in Li-ion batteries. *J. Power Sources* 2014, 248, 91–100.
- [22] Y. Mekonnen, A. Sundararajan and A. I. Sarwat, A review of cathode and anode materials for lithium-ion batteries, *SoutheastCon 2016*, Norfolk, VA, USA, 2016, pp. 1-6.
- [23] Y. Zhang, et al., High-energy cathode materials for Li-ion batteries: A review of recent developments. *Sci. China Technol. Sci.* 58, 1809–1828, 2015.
- [24] C. Daniel, D. Mohanty, J. Li, D. L. Wood, Cathode materials review, *AIP Conference Proceedings* 16 June 2014; 1597 (1): 26–43.
- [25] D. Wang, D. Choi, et al., Self-assembled TiO<sub>2</sub>-graphene hybrid nanostructures for enhanced Li-ion insertion, *ACS Nano* 3 (4), 2009, 907–914.
- [26] J. H. Kwon, et al., Reversible Conversion Reactions of Mesoporous Iron Oxide with High Initial Coulombic Efficiency for Lithium-ion Batteries." *ACS sustainable chemistry & engineering*, v. 9, 49 pp. 16627-16636.
- [27] B.L. Dasari, et al., Graphene and derivatives – Synthesis techniques, properties, and their energy applications. *Energy*. 140, 766-778, 2017.
- [28] H. Dong, et al., An overview on limitations of TiO<sub>2</sub>-based particles for photocatalytic degradation of organic pollutants and the corresponding countermeasures, *Water Research*, Volume 79, 2015, Pages 128-146, ISSN 0043-1354.
- [29] H. Liu, et al., Synthesis of TiO<sub>2</sub>/SiO<sub>2</sub>@Fe<sub>3</sub>O<sub>4</sub> magnetic microspheres and their properties of photocatalytic degradation dyestuff, *Catalysis Today*, Volume 175, Issue 1, 2011, Pages 293-298, ISSN 0920-586.
- [30] M.N. Tahir, et al., Extraordinary Performance of Carbon-Coated Anatase TiO<sub>2</sub> as Sodium-Ion Anode. *Adv Energy Mater.* 2016 Feb;6(4):1501489.
- [31] A. Wanag, et al., Influence of rGO and Preparation Method on the Physicochemical and Photocatalytic Properties of TiO<sub>2</sub>/Reduced Graphene Oxide Photocatalysts, *Catalysts* 2021, 11, 1333.
- [32] I.S. Ahmed, M.S. Sanad, Maghemite-based anode materials for Li-Ion batteries: The role of intentionally incorporated vacancies and cation distribution in electrochemical energy storage, *Journal of Alloys and Compounds*, Volume 861, 2021, 157962, ISSN 0925-8388.
- [33] M. Madian, A. Eychmüller,L. Giebel, Current Advances in TiO<sub>2</sub>-Based Nanostructure Electrodes for High Performance Lithium Ion Batteries. *Batteries* 2018, 4, 7.

- [34] H. Xia, W. Xiong, C.K. Lim, et al., Hierarchical TiO<sub>2</sub>-B nanowire@α-Fe<sub>2</sub>O<sub>3</sub> nanothorn core-branch arrays as superior electrodes for lithium-ion microbatteries. *Nano Res.* 7, 1797–1808 (2014).
- [35] J. Chen, X. Hu, H. Gao, S. Yan, S. Chen, X. Liu, Graphene-wrapped MnCO<sub>3</sub>/Mn<sub>3</sub>O<sub>4</sub> nanocomposite as an advanced anode material for lithium-ion batteries: Synergistic effect and electrochemical performances, *Journal of Materials Science & Technology*, Volume 99, 2022, Pages 9-17, ISSN 1005-0302.
- [36] R. A. Adams, et al., Binder Free N- and O-Rich Carbon Nanofiber Anodes for Long Cycle Life K-Ion Batteries, *ACS Applied Materials & Interfaces*, 2017; 9, 17872–17881.
- [37] B. Tian, et al., Insight into lithium diffusion in conversion-type iron oxide negative electrode, 2015, *J. Phys. Chem., C* 119:919–925.
- [38] S. Lee, W. Eom, H. Park, and T. H. Han, High-Temperature Stable Anatase Titanium Oxide Nanofibers for Lithium-Ion Battery Anodes, *ACS Applied Materials & interfaces*, 2017, 9 (30), 25332-25338.
- [39] X.H. Rui, N. Yesibolati, S.R. Li, C.C. Yuan, C.H. Chen, Determination of the chemical diffusion coefficient of Li<sup>+</sup> in intercalation-type Li<sub>3</sub>V<sub>2</sub>(PO<sub>4</sub>)<sub>3</sub> anode material, *Solid State Ionics*, Volume 187, Issue 1, 2011, Pages 58-63, ISSN 0167-2738.
- [40] I.S. Lyubutin, A.O. Baskakov, S.S. Starchikov, Kun-Yauh Shih, Chun-Rong Lin, Yaw-Teng Tseng, Shou-Shiun Yang, Zhen-Yuan Han, Yu.L. Ogarkova, V.I. Nikolaichik, A.S. Avilov, Synthesis and characterization of graphene modified by iron oxide nanoparticles, *Materials Chemistry and Physics*, Volume 219, 2018, Pages 411-420, ISSN 0254-0584.
- [41] S. Hillier, Accurate quantitative analysis of clay and other minerals in sandstones by XRD: Comparison of a Rietveld and a reference intensity ratio (RIR) method and the importance of sample preparation. *Clay Miner.* 2000, 35, 291–302.
- [42] X. Zhou, et al., XRD-based quantitative analysis of clay minerals using reference intensity ratios, mineral intensity factors, Rietveld, and full pattern summation methods: A critical review, *Solid Earth Sci.* 2018, 3, 16–29.
- [43] N. Kumar and V.C. Srivastava, Simple Synthesis of Large Graphene Oxide Sheets via Electrochemical Method Coupled with Oxidation Process, Department of Chemical Engineering, Indian Institute of Technology Roorkee, Roorkee 247667, Uttarakhand, India, *ACS Omega* 2018, 3, 10233–10242.
- [44] H. Xu, et al., A new nano-mineral of Fe<sub>2</sub>O<sub>3</sub> polymorph with giant coercive field, *American Mineralogist* 102, 2017, 711 - 719.
- [45] H. Xia, W. Xiong, C.K. Lim, et al., Hierarchical TiO<sub>2</sub>-B nanowire@α-Fe<sub>2</sub>O<sub>3</sub> nanothorn core-branch arrays as superior electrodes for lithium-ion microbatteries. *Nano Res.* 7, 1797–1808 (2014).
- [46] K. Huang, L. Chen, J. Deng, J. Xiong, Enhanced Visible-Light Photocatalytic Performance of Nanosized Anatase TiO<sub>2</sub> Doped with CdS Quantum Dots for Cancer-Cell Treatment, *Journal of Nanomaterials*, vol., 2012, Article ID 720491, 12 pages.
- [47] L. Zuniga, et al., Centrifugally Spun α-Fe<sub>2</sub>O<sub>3</sub>/TiO<sub>2</sub>/Carbon Composite Fibers as Anode Materials for Lithium-Ion Batteries. *Appl. Sci.* 2019, 9, 4032.
- [48] S. Li, et al., Bio-Inspired Hierarchical Nanofibrous Fe<sub>3</sub>O<sub>4</sub>-TiO<sub>2</sub>-Carbon Composite as a High-Performance Anode Material for Lithium-Ion Batteries. *ACS Appl. Mater. Interfaces* 2016, 8, 17343–17351.

- [49] L. Gao, et al., Hierarchical 3D  $\text{TiO}_2@\text{Fe}_2\text{O}_3$  nanoframework arrays as high-performance anode materials. *Nanoscale* 2014, 6, 6463–6467.
- [50] Y. Fu, et al., Sun, S. Stem-like nano-heterostructural MWCNTs/ $\alpha\text{-Fe}_2\text{O}_3@\text{TiO}_2$  composite with high lithium storage capability. *J. Alloys Compd.* 2016, 684, 419–427.
- [51] T.G. Qin, et al., Fabrication of  $\text{Fe}_2\text{O}_3@\text{TiO}_2$  core-shell nanospheres as anode materials for lithium-ion batteries. *J. Mater. Sci.-Mater. Electron.* 2018, 29, 12944–12950.
- [52] M. Liang, J. Zou, X. Zeng, W. Ding, Nanostructured  $\text{Fe}_2\text{O}_3$  Based Composites Prepared through Arc Plasma Method as Anode Materials in the Lithium-Ion Battery, *Journal of Nanomaterials*, 2016, art. no. 1207907.
- [53] L.Y. Beaulieu, et al., Reaction of Li with grain-boundary atoms in nanostructured compounds. *J. Electrochem. Soc.* 147, 3206–3212, 2000.
- [54] S. Laruelle, et al. On the origin of the extra electrochemical capacity displayed by MO/Li cells at low potential. *J. Electrochem. Soc.* 149, A627–A634, 2002.
- [55] P. Balaya, et al., Fully reversible homogeneous and heterogeneous Li storage in  $\text{RuO}_2$  with high capacity. *Adv. Funct. Mater.* 13, 621–625, 2003.
- [56] H. Li, P. Balaya, J. Maier, Li-storage via heterogeneous reaction in selected binary metal fluorides and oxides. *J. Electrochem. Soc.* 151, A1878–A1885, 2004.
- [57] H. Li, G. Richter, J. Maier, Reversible formation, and decomposition of LiF clusters using transition metal fluorides as precursors and their application in rechargeable Li batteries. *Adv. Mater.* 15, 736–739, 2003.
- [58] S. Guo, S. Wang, N. Wu, J. Liu, Y. Nic, W. Liu, Facile synthesis of porous  $\text{Fe}_2\text{TiO}_5$  microparticulates serving as anode material with enhanced electrochemical performances, *RSC Adv.* 5, 2015, 103767e103775.
- [59] S. Guo, et al., Porous  $\text{TiO}_2\text{-FeTiO}_3@$ Carbon nanocomposites as anode for high-performance lithium-ion batteries, *Journal of Alloys and Compounds*, Volume 858, 2021, 157635, ISSN 0925-8388.
- [60] Y. Yang, et al., Enhanced electrochemical performance of alpha- $\text{Fe}_2\text{O}_3$  grains grafted onto  $\text{TiO}_2$ -Carbon nanofibers via a Vapor-Solid reaction as anode materials for Li-Ion batteries. *Appl. Surf. Sci.* 2019, 463, 322–330.
- [61] K. Redel, et al., Origin of extra capacity in advanced Li-Rich cathode materials for rechargeable Li-Ion batteries, *Chemical Engineering Journal*, Volume 424, 2021, 130293, ISSN 1385-8947.
- [62] K. Thanapalan, M. Bowkett, J. Williams, M. Hathway, T. Stockley, Advanced EIS Techniques for Performance Evaluation of Li-ion Cells, *IFAC Proceedings Volumes*, Volume 47, Issue 3, 2014, Pages 8610-8615, ISSN 1474-6670.
- [63] S. Hink, et al., Impedance Spectroscopic Investigation of Proton Conductivity in Nafion Using Transient Electrochemical Atomic Force Microscopy (AFM), *Membranes*, 2012, 2, 237-252.
- [64] Y. Yang, et al., Enhanced electrochemical performance of  $\alpha\text{-Fe}_2\text{O}_3$  grains grafted onto  $\text{TiO}_2$ -Carbon nanofibers via a vapor-Solid reaction as anode materials for Li-Ion batteries, *Applied Surface Science*, Volume 463, 2019, Pages 322-330.
- [65] H. Xia, et al., Hierarchical  $\text{TiO}_2\text{-B}$  nanowire@ $\alpha\text{-Fe}_2\text{O}_3$  nanothorn core-branch arrays as superior electrodes for lithium-ion microbatteries. *Nano Res.* 7, 1797–1808.

- [66] A. Casimir, et al., Silicon-based anodes for lithium-ion batteries: Effectiveness of materials synthesis and electrode preparation, *Nano Energy*, Volume 27, 2016, Pages 359-376, ISSN 2211-2855.
- [67] N. Srivastava, et al., Electrochemical performance of Li-rich NMC cathode material using ionic liquid based blend polymer electrolyte for rechargeable Li-ion batteries, *Journal of Alloys and Compounds*, Volume 843, 2020, 155615, ISSN 0925-8388.
- [68] Q. Li, J. Chen, L. Fan, X. Kong, Y. Lu, Progress in electrolytes for rechargeable Li-based batteries and beyond, *Green Energy & Environment*, Volume 1, Issue 1, 2016, Pages 18-42, ISSN 2468-0257.

## AUTORA PUBLIKĀTĀE

Autora publikāciju citējamības Hirša indekss ir 4, kopā SCOPUS datubāzē 5 publikācijas.

### Ar promocijas darba saturu saistītās publikācijas:

- **K. Kaprans**, J. Mateuss, A. Dorondo, G. Bajars, G. Kucinskis, P. Lesnicenoks, Electrophoretically deposited  $\alpha$ -Fe<sub>2</sub>O<sub>3</sub> and TiO<sub>2</sub> composite anchored on rGO with excellent cycle performance as anode for lithium-ion batteries. Solid State Ionics 319, 1-6 (2018), (Citēts 23 reizes). <https://doi.org/10.1016/j.ssi.2018.01.042>
- **K. Kaprans**, G. Bajars, G. Kucinskis, A. Dorondo, J. Mateuss, J. Gabrusenoks, Electrophoretic Nanocrystalline Graphene Film Electrode for Lithium Ion Battery, IOP Conference Series: Materials Science and Engineering 77 (1), 012042 (2015), (Citēts 6 reizes). <https://iopscience.iop.org/article/10.1088/1757-899X/77/1/012042>

### Ar darba tēmu mazāk saistītās publikācijas:

- G.Kucinskis, G.Bajars, K.Bikova, **K.Kaprans**, J.Kleperis, Microstructural Influence on Electrochemical Properties of LiFePO<sub>4</sub>/C/Reduced Graphene Oxide Composite Cathode, Russian Journal of Electrochemistry 55, 517-523 (2019).
- A. Plavniece, A. Volperts, G. Dobeles, A. Zhurinsh, **K. Kaprans**, I. Kruusenberg, Wood and black liquor-based N-doped activated carbon for energy application, Sustainability 13 (16), 923, (2021).
- P. Lesnicenoks, M. Zvine, A. Januskevica, V.L.Muzikants, M.K.Jurjans, **K.Kaprans**, A.Volperts, G.Kucinskis, G. Bajars, G. Dobeles, J. Kleperis, Nanostructured carbon materials as promoters of energy storage, Bulgarian Chemical Communications 48, 365-372, (2016).

## KONFERENČU TĒŽU SARAKSTS

- **K. Kaprans**, Synergistic Behaviour of TiO<sub>2</sub>/Fe<sub>2</sub>O<sub>3</sub>/rGO Ternary Nanocomposite as Anode for Lithium-Ion Battery” Scholars’ Frontiers in Nanoscience and Nanotechnology Congress” NANOTEK2023, 2023, London, Great Britain, March 27 -28.
- **K. Kaprans**, G. Bajars, G. Kucinskis, Investigation of Fe<sub>2</sub>O<sub>3</sub> and TiO<sub>2</sub> molar ratio impact on lithium – ion battery electrode performance, international conference on batteries - BATTERIES EVENT 2022, October 18-21, 2022.
- **K. Kaprans**, Synergistic behaviour of TiO<sub>2</sub>/ Fe<sub>2</sub>O<sub>3</sub>/rGO ternary nanocomposite as Anode for Lithium - Ion batteries, 7<sup>th</sup> International Conference on Multifunctional, Hybrid and Nanomaterials (HYMA -2022), October 19-22, 2022, Genoa, Italy, Available at SSRN: <https://ssrn.com/abstract=4240892>.
- **K. Kaprans**, A. Volperts, G. Bajars, G. Kucinskis, G. Dobeles, J. Kleperis, Nanostructured porous hybrid network of nitrogen-doped carbon as anode for Li-ion batteries, Functional Materials and Nanotechnologies, Vilnius, Lithuania, November 23-26, 2020, Book of Abstracts p.76
- G.Bajars, G.Kucinskis, **K. Kaprans**, J.Kleperis, Recent developments of electrode materials for lithium – ion batteries, 16th International Symposium on Systems with Fast Ionic Transport, Chernogolovka, Russia, 2018, Book of Abstracts: p. 47
- **K. Kaprans**, J. Mateuss, A. Dorondo, G. Bajars, J. Kleperis, Nanostructured Fe<sub>2</sub>O<sub>3</sub>, TiO<sub>2</sub> and reduced graphene oxide with excellent electrochemical performance as anode material for lithium ion batteries, COST TO-BE - FALL-2017, Riga, Latvia, June 11–13, 2017.
- **K. Kaprans**, J.Mateuss, A. Dorondo, G.Bajars, J. Kleperis, Electrophoretically deposited  $\alpha$ -Fe<sub>2</sub>O<sub>3</sub> and TiO<sub>2</sub> composite anchored on rGO with excellent cycle performance as anode for lithium - ion batteries, 21st International Conference on Solid State Ionics, Padua, Italy, June 18-23, 2017, Book of Abstracts p.222
- **K. Kaprans**, J. Mateuss, A. Dorondo, G. Bajars, G.Kucinskis, J. Kleperis, Electrophoretically deposited graphene oxide/TiO<sub>2</sub> and ultrasmall Fe<sub>2</sub>O<sub>3</sub> nanoparticles thin film composite as anode for highperformance lithium ion batteries, 12th International Symposium of Systems with Fast ionics transport ( ISSFIT -12), Kaunas, Lithuania, July 3-7, 2016.

- **K. Kaprāns**, G. Bajars, A. Dorondo, J. Mateuss, G. Kucinskis, J. Gabrusenoks, J. Kleperis, A. Lusis, Electrophoretic Graphene Film Electrode for Lithium Ion Battery, Joint 12th Russia/CIS/Baltic/Japan Symposium on Ferroelectricity and 9th International Conference Functional Materials and Nanotechnologies, September 29 – October 2 Riga, 2014, Book of Abstracts p.410
- Latvijas Universitātes Cietvielu fizikas institūta gadskārtējās zinātniskās konferences (2014-2021).

## ZINĀTNISKIE PROJEKTI

**Promocijas darbs ir saistīts ar šādu zinātnisko projektu izpildi:**

1. “LU doktorantūras kapacitātes stiprināšana jaunā doktorantūras modeļa ietvarā” nr. 8.2.2.0/20/I/006», 01.07.2021.-31.10.2023.
2. Latvijas Zinātnes padomes fundamentālo un lietišķo pētījumu projektam nr. lzp-2020/1-0425 «Litija jonu akumulatoru elektrodu un šūnu dzīves cikla prognoze, izmantojot strāvas un sprieguma mēriju», 2021-2023.
3. Nanostrukturēti ar slāpekli dopēti oglekļa materiāli kā enerģijas ieguves un uzglabāšanas tehnoloģiju veicinātāji, 2018. – 2021., NN-CARMA.
4. LU CFI Studentu un jauno zinātnieku projekts Nr. SJZS/2020/9, 2020.
5. H2020 SPIRE projekts, “Etilēna oksīda elektrokatalītiska sintēze no CO<sub>2</sub>” (COEXIDE), 2018 - 2019.
6. A/S Sidrabe un Valsts Kompetences centra projekts, Litija vakumpārkājumu pielietojumi bateriju anodmateriālos, 2018 – 2019.
7. Latvijas zinātnu padomes sadarbības projekts “Kontrolējamas porainības kompozītmateriālu sintēze un pētījumi plāno slāņu un to sistēmu iegūšanai enerģijas uzkrāšanas un pārveidošanas pielietojumiem”, projekts nr. 666/2014, 2014 – 2018.

Latvijas Universitātes Cietvielu fizikas institūts kā Ekselences centrs ir saņēmis Eiropas Savienības pamatprogrammas “Apvārsnis 2020” uzsaukuma H2020-WIDESPREAD-01-2016-2017-TeamingPhase2 projekta CAMART2, līguma Nr. 739508, atbalstu.

## PATEICĪBAS

Vēlos izteikt pateicību darba vadītājam Dr. chem. Gunāram Bajāram par neizmērojamo palīdzību darba izstrādē, sniedzot vērfigus padomus gan par rezultātu plānošanu, gan datu analīzi un interpretāciju. Viņa milzīgās zināšanas, bagātīgā pieredze un nepārtrauktais atbalsts ir iedrošinājuši mani visu pētījuma laiku un ikdienā. Esmu patiesi pateicīgs par iespēju strādāt viņa vadībā.

Laboratorijas vadītājs Dr. phys. Gintam Kučinskim par vērtīgajiem padomiem un motivāciju turpināt darbu.

Reinim Ignatānam un Līgai Ignatānei par padomiem XRD datu interpretācijā.

Liels paldies arī pārējiem kolēgiem Enerģijas iegūšanas un uzglabāšanas laboratorijā.

Līgai Britālai par SEM un EDX mērījumiem.

Kārlim Kundziņam par SEM attēliem.

Ingaram Lukoševičam par XPS mērījumiem.

Jevgēnijam Gabrusenokam par Ramana spektru mērījumiem un auglīgām zinātniskām diskusijām.

Vēlos pateikties Dievam par vadību, kas man deva iespēju sasniegt savus mērķus un gūt panākumus.

Vēlos pateikties mammai un tētim par audzināšanu un par nenoguristošo darbu un atbalstu, lai sasniegtu savus sapņus un mērķus.

Vēlos pateikties savai sievai Rutai un dēliem Jēkabam, Kārlim un jaundzimušajai meitai Martai par pacietību un sapratni disertācijas izstrādes laikā.

Vēlos pateikties Cietvielu fizikas institūtam par to, ka tā ir jauka vieta, kur strādāt un attīstīt savu karjeru. Papildus vēlos izteikt pateicību Latvijas Universitātes Cietvielu fizikas institūtā īstenotajam zinātniskās pētniecības projektam studentiem un jaunajiem pētniekim Nr. SJZS/2020/9, 2020. gadā.

Finansējums promocijas darba izstrādei tika saņemts no granta projekta "**Doktorantūras kapacitātes stiprināšana Latvijas Universitātē jaunā doktorantūras modeļa ietvarā**", identifikācijas Nr. 8.2.2.0/20/I/006.



LATVIJAS  
UNIVERSITĀTE

NACIONĀLĀS  
ATTĪSTĪBAS  
PLĀNS 2020



EUROPAS SAVIENĪBA  
Eiropas Sociālais  
fonds

I E G U L D Ī J U M S T A V Ā N Ā K O T N Ē

